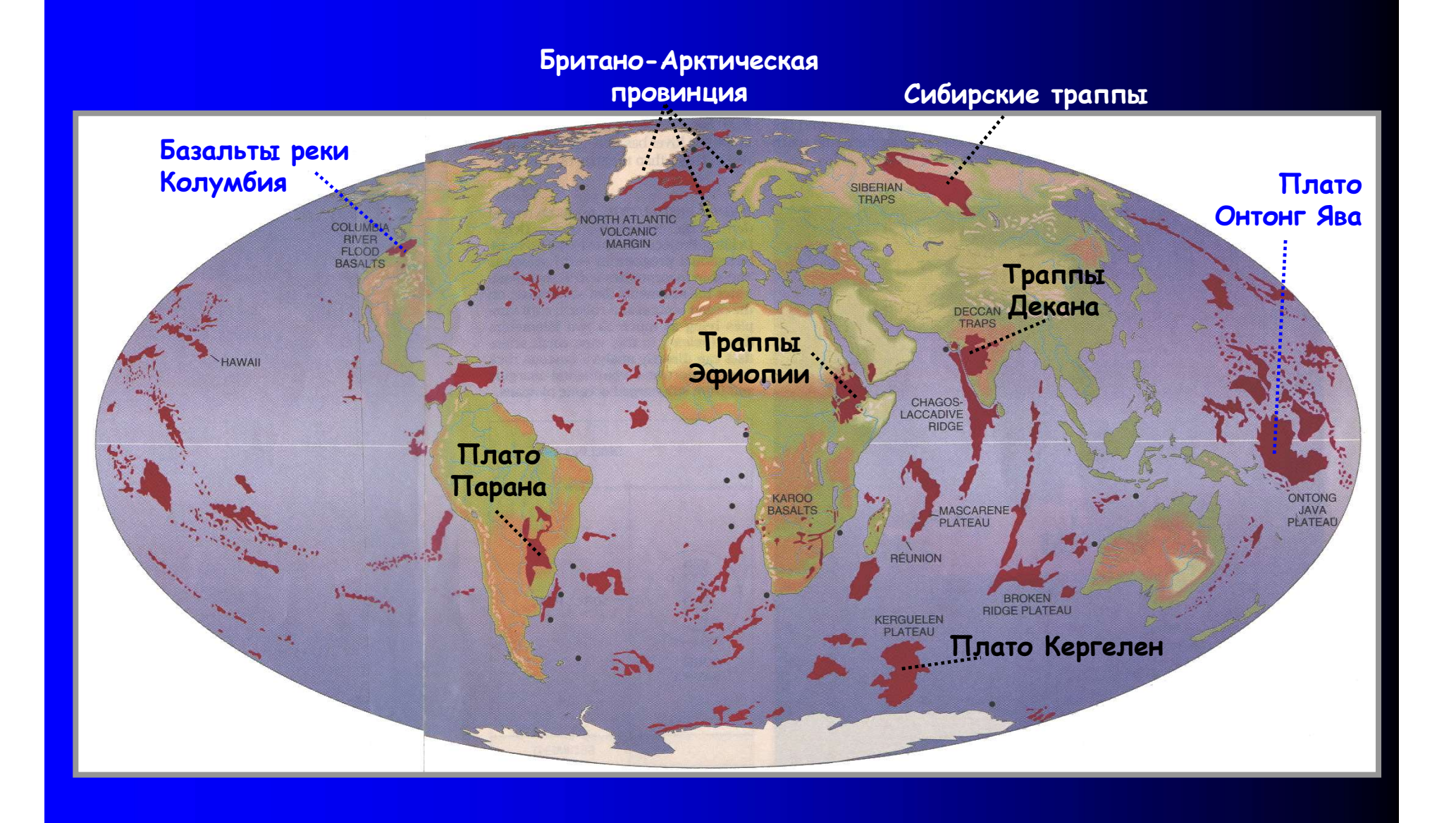
Тема занятия:

ФОРМАЦИИ ПЛАТОБАЗАЛЬТОВ ЗЕМЛИ или "Large Igneous Provinces" - LIPs

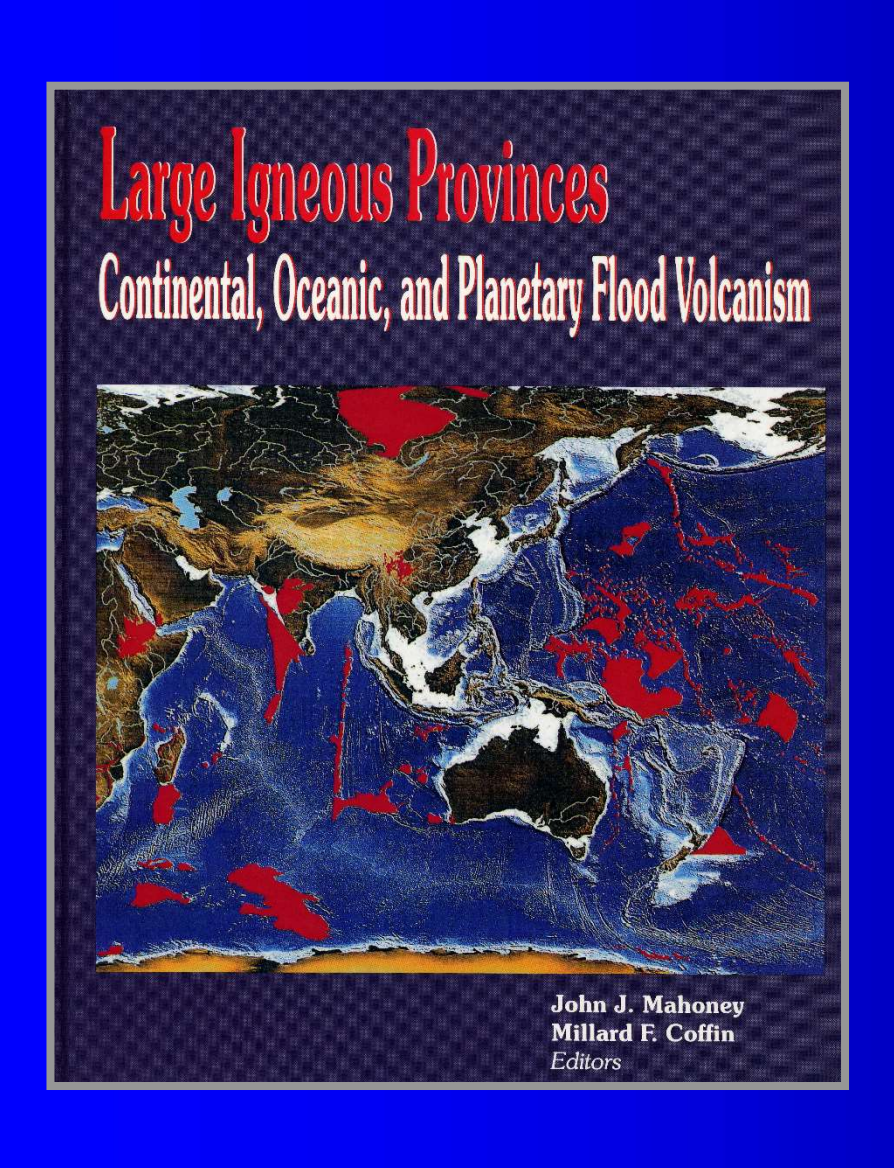
Лекция № 17

ОКЕАНИЧЕСКИЕ ПЛАТО И КОНТИНЕНТАЛЬНЫЕ ТРАППЫ

РАСПРЕДЕЛЕНИЕ ГОРЯЧИХ ТОЧЕК И КРУПНЕЙШИХ ПЛАТОБАЗАЛЬТОВЫХ ФОРМАЦИЙ



ОСНОВНЫЕ ПОЛОЖЕНИЯ КОНЦЕПЦИИ КРУПНЫХ ПЛАТОБАЗАЛЬТОВЫХ ПРОВИНЦИЙ (LIPs)



- 1. Океанические плато и некоторые окраины континентов являются подводными аналогами континентальных трапповых формаций.
- 2. Все эти провинции характеризуют крупнейшие события магматизма в мезозойско-кайнозойской истории Земли.
- 3. Признание определяющей роли крупных мантийных плюмов в зарождении и эволюции платобазальтовых магм.
- 4. Значение провинций платобазальтов как важного фактора утолщения и роста континентальной коры.

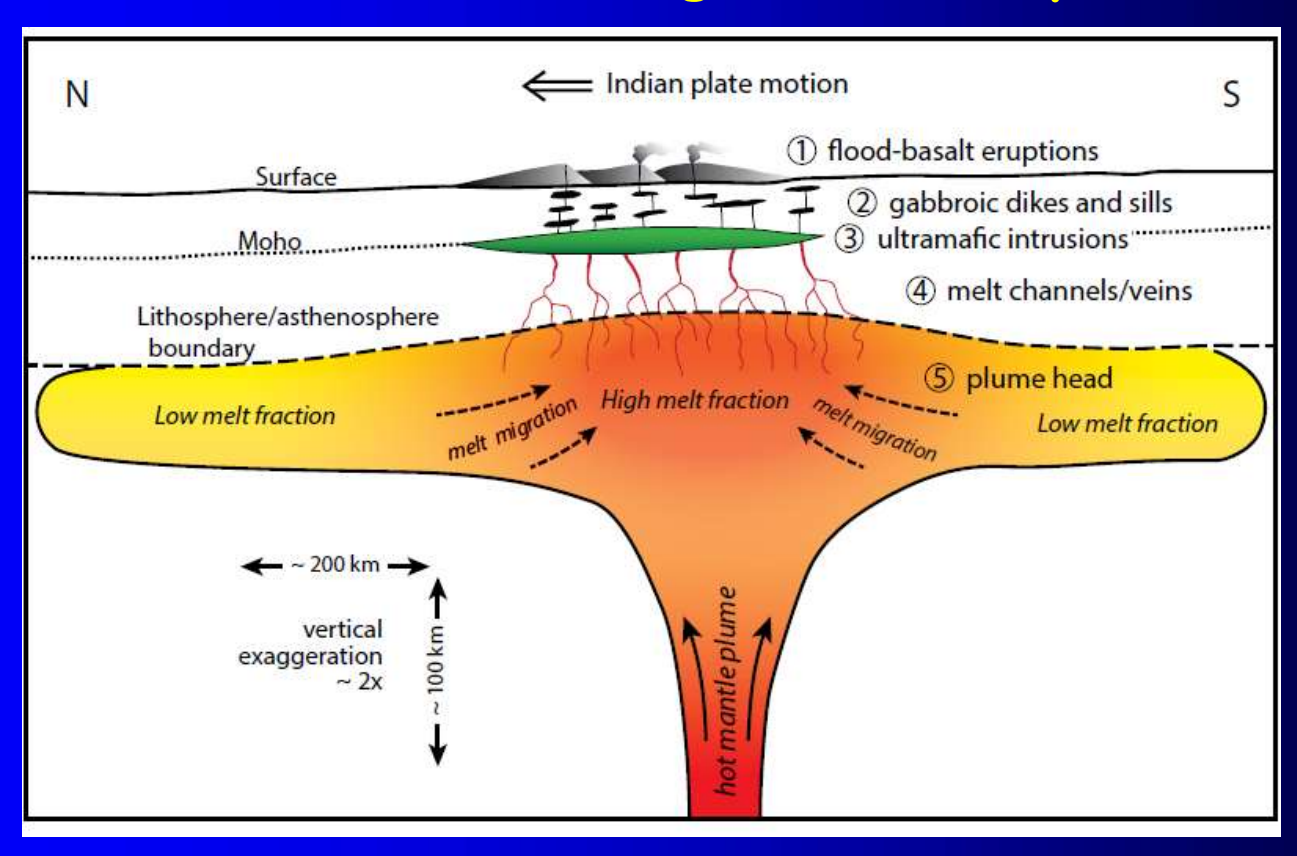
OCHOBHLIE KOMTTOHEHTLI LIPS

эффузивные: покровные базальты (flood basalts);

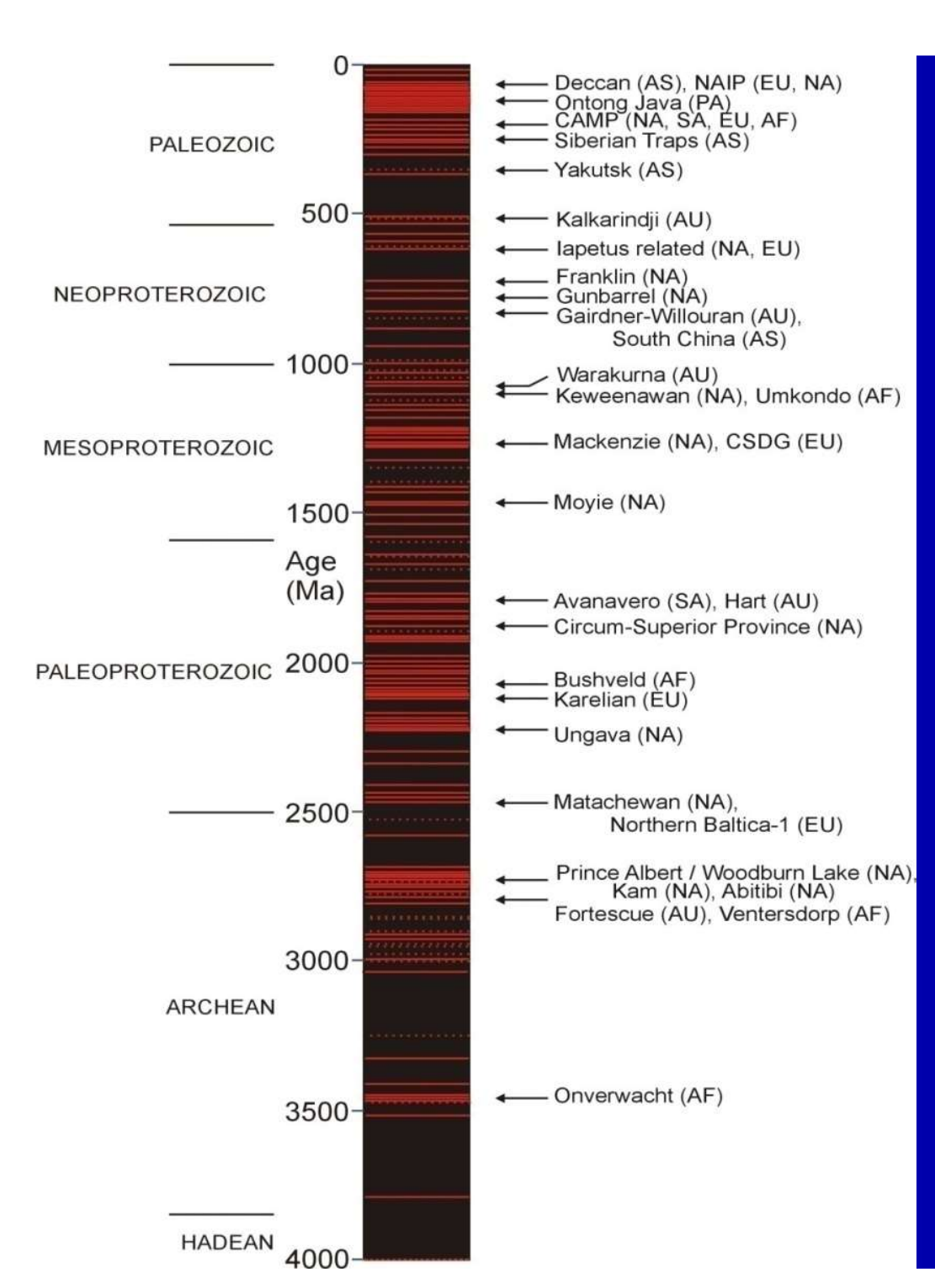
интрузивные: дайки, силлы и расслоенные комплексы

мантийно-коровые: магматические камеры на границе коры и

мантии, т.н. "magmatic underplate"



Richards et al. 2015 GSA Bull.



Записи LIPS в геологической истории Земли

Средняя частота образования одна за 20-30 миллионов лет

Роль LIPS в эволюции Земли

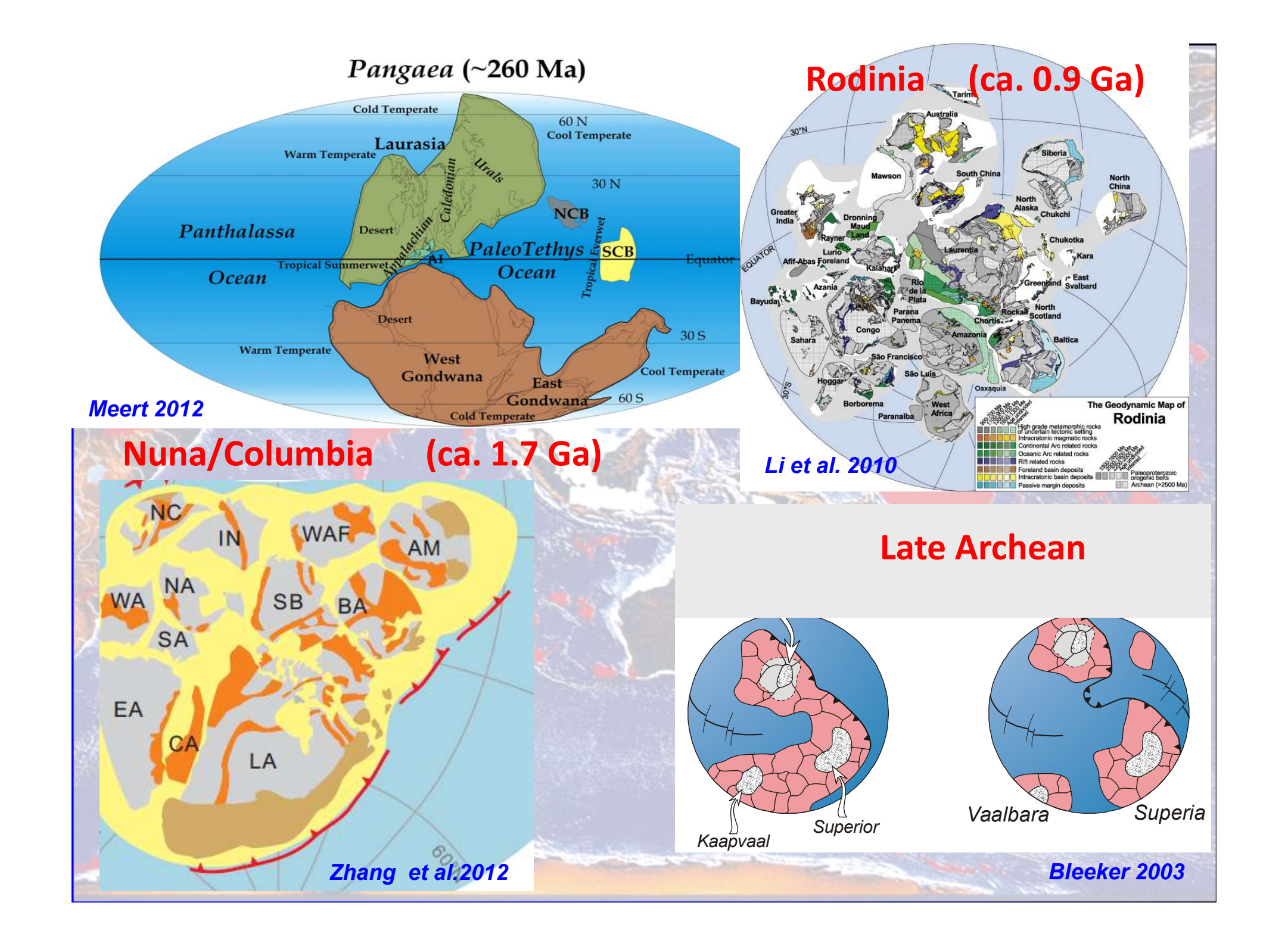
Связь с вымиранием фауны

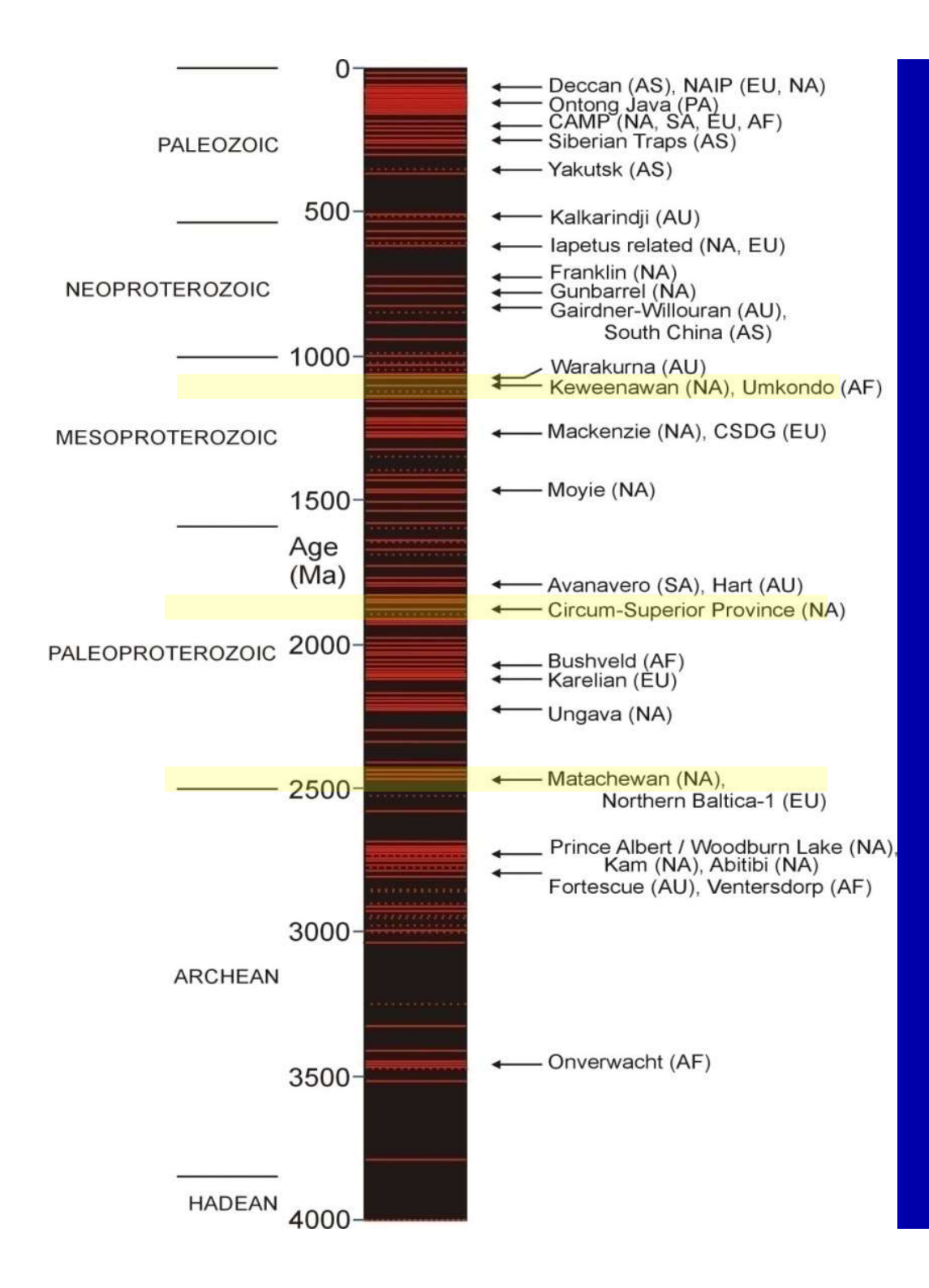
Связь с региональными поднятиями – т.н. сводами

Причина рифтогенеза и раскола материков

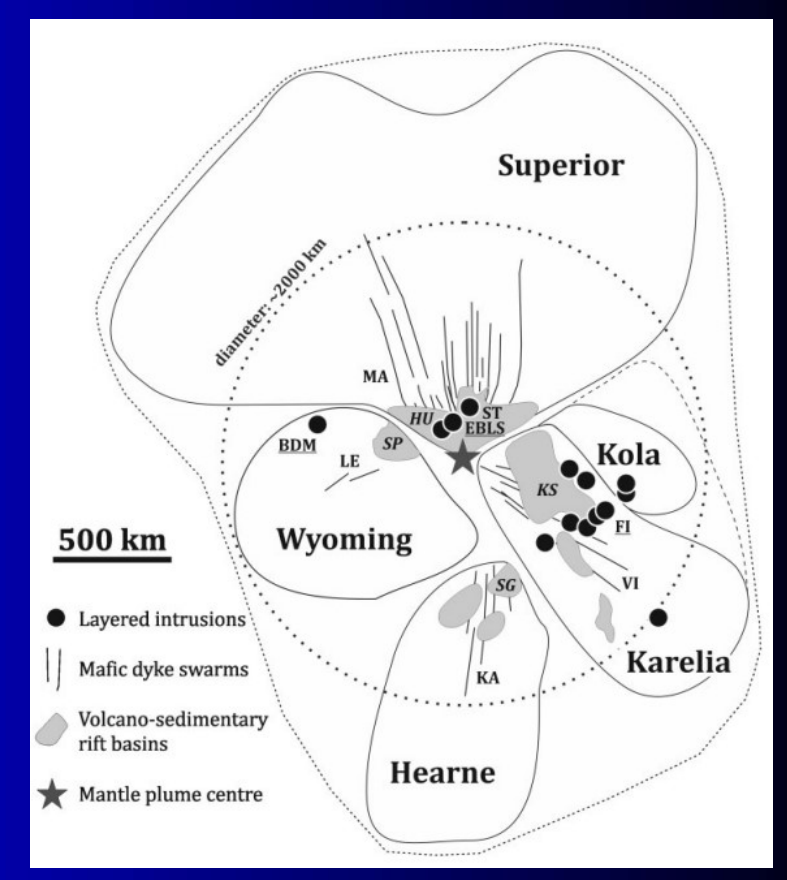
Связь с месторождениями (магматическими и гидротермальными), возможно — с нефтегазовыми

Планетарные и Архейские аналогии





Раннепротерозойская провинция Матачеван



(Giborowski et al., JP-2015; modified after Soderlund et al., 2010)

Возраст провинции (Zir+Bad) ~2.45 млрд. лет и долгий распад суперконтинента Kenorland

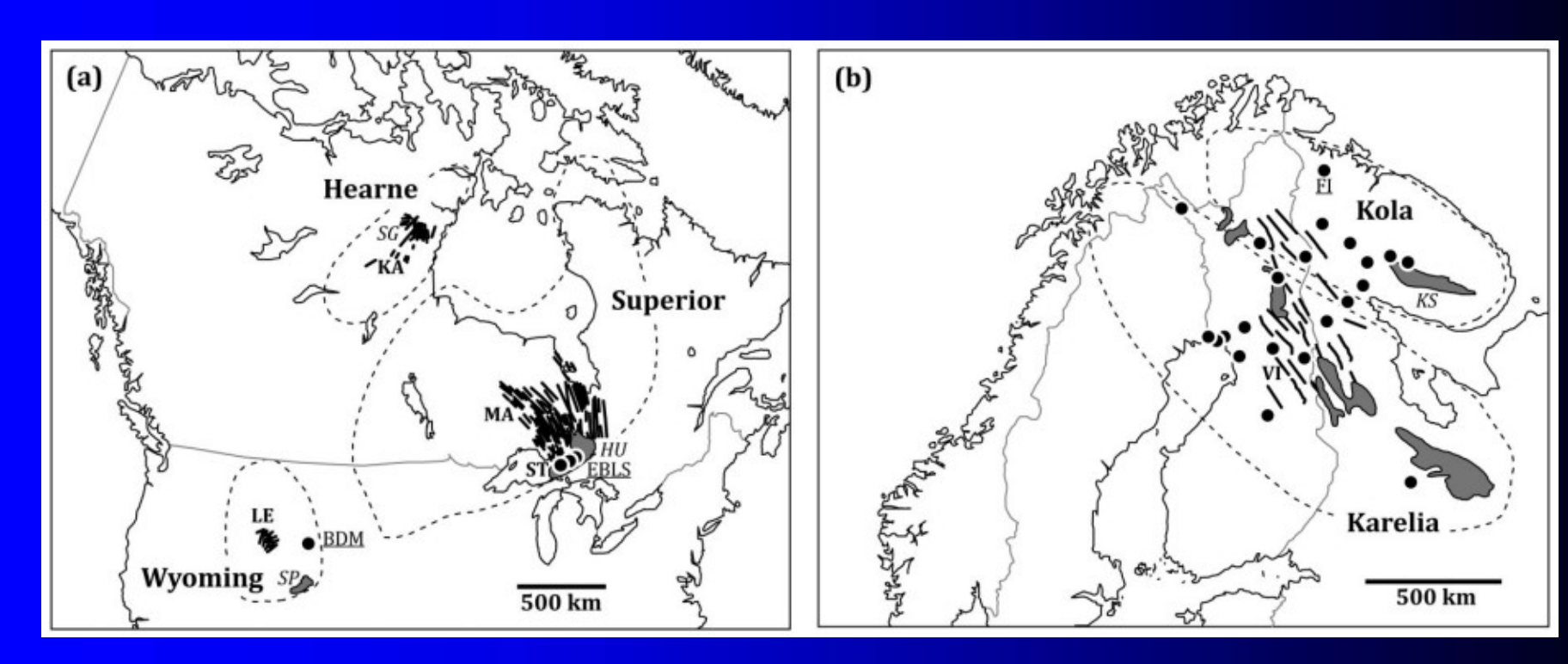
JOURNAL OF PETROLOGY Journal of Petrology, 2015, Vol. 56, No. 8, 1459–1494 doi: 10.1093/petrology/egv038 Advance Access Publication Date: 9 September 2015

Original Article



The Early Proterozoic Matachewan Large Igneous Province: Geochemistry, Petrogenesis, and Implications for Earth Evolution

T. Jake R. Ciborowski^{1,2}*, Andrew C. Kerr², Richard E. Ernst^{3,4}, lain McDonald², Matthew J. Minifie², Stephen S. Harlan⁵ and lan L. Millar⁶



Возраст обеих провинций ~2.45 млрд. лет

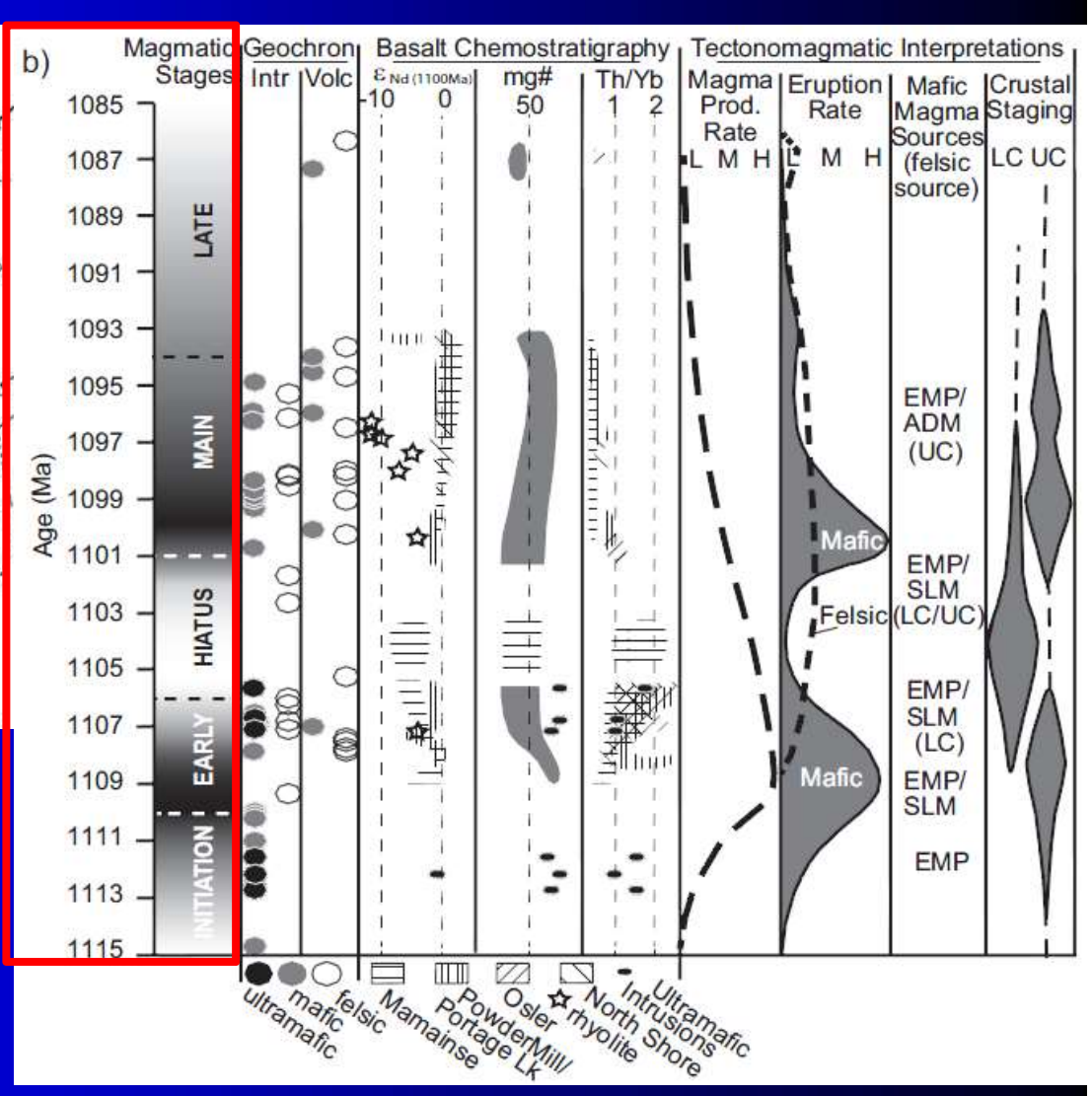
ДЛИТЕЛЬНОСТЬ ФОРМИРОВАНИЯ LIPS:

некоторые - десятки млн. лет



Провинция базальтов KEWEENAWAN

(область Великих озер, Superior): (Мезопротерозой ~ 1.1 млрд. лет, продолжительность — 30 млн. лет)

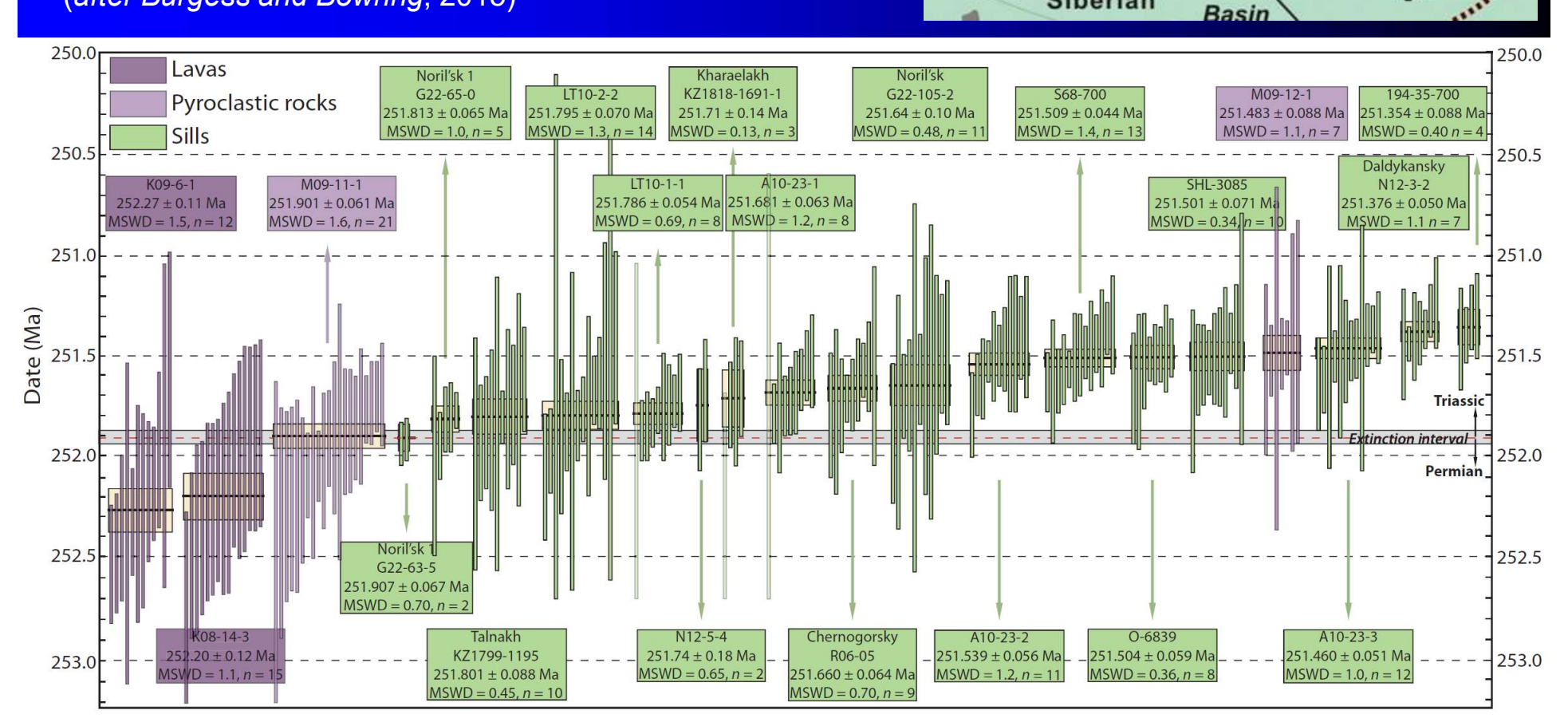


ДЛИТЕЛЬНОСТЬ ФОРМИРОВАНИЯ LIPS:

большинство - первые млн. лет

Siberian Trap, Deccan, Emeishan, and Karoo are <2 Ma - U-Pb dating, and match extinction events

(after Burgess and Bowring, 2015)



Siberian Traps

Craton

Siberian

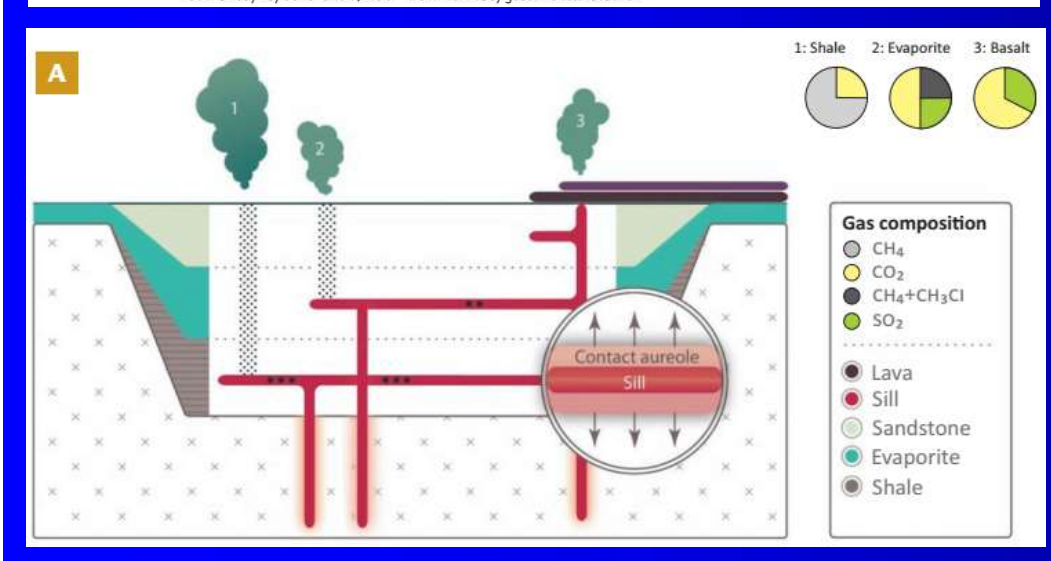
Siberian

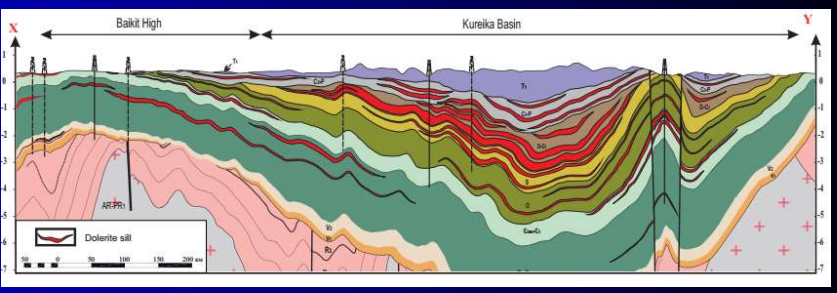
ВЛИЯНИЕ LIPS НА ОКРУЖАЮЩУЮ СРЕДУ



Henrik H. Svensen¹, Morgan T. Jones¹, and Tamsin A. Mather²

1811-5209/23/0019-0282\$2.50 DOI: 10.2138/aselements.19.5.282





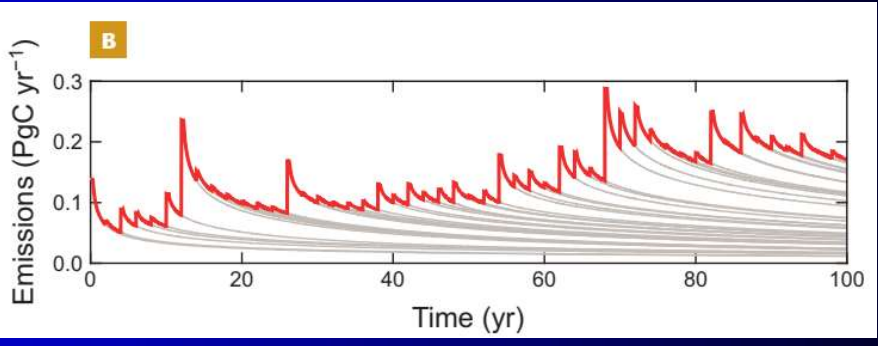


Множество толщ карбонатов и эвапоритов, красное — силлы долеритов

(A) Cross section across the Siberian Traps, from the southwest to the northeast. This shows extensive sills emplaced in carbonates and evaporites. Breccia pipes are numerous in the basin, originating from magma-sediment interactions, but are not shown. In addition, a variety of extrusive volcanic rocks are present, including tephras, pyroclastic deposits,

and lava flows. (**B**) Lithological logs from boreholes in the Tunguska Basin (Siberian Traps) showing thick dolerite sills emplaced in Cambrian and Ordovician carbonates and evaporites as part of the LIP plumbing system. Modified from Svensen et al. (2018). References are listed in the supplemental material.

FIGURE 4 (A) Generalized LIP cross section through a volcanic basin. The figure is based on seismic interpretations and field mapping in volcanic basins. Schematic gas compositions from metamorphism of shale (1) and evaporite (2), and flood basalt degassing (3). (B) Modeled flux of thermogenic CH₄ based on theoretical and pulsed sill emplacement in the North East Atlantic Igneous Province (56 Ma; Jones et al. 2019b). Together with values for the δ^{13} C of the methane released, these data are used in carbon cycle models to calculate the effects on the surface carbon reservoir and compared to sedimentary carbon isotope records.

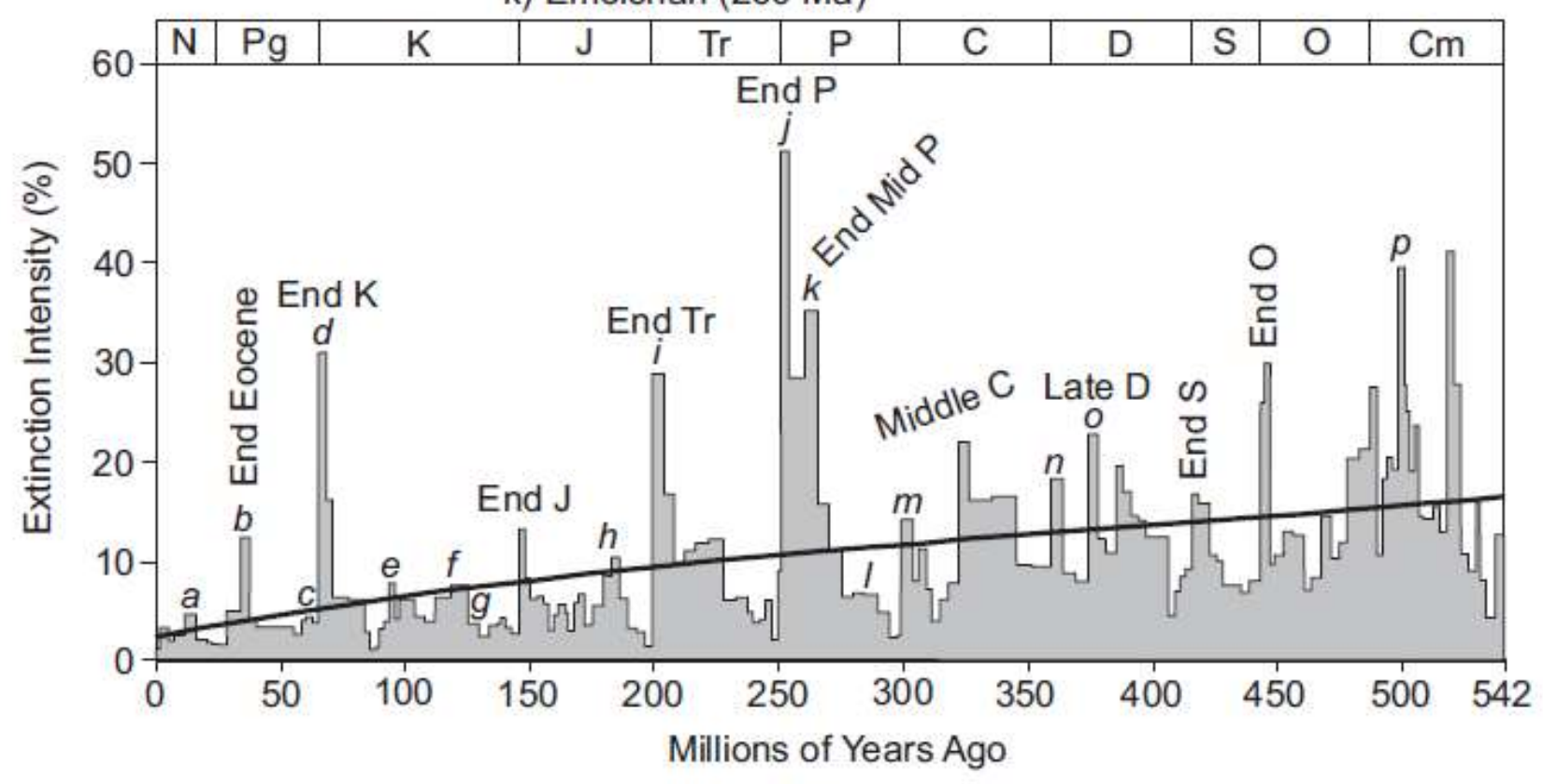


ВЛИЯНИЕ LIPS НА ОКРУЖАЮЩУЮ СРЕДУ

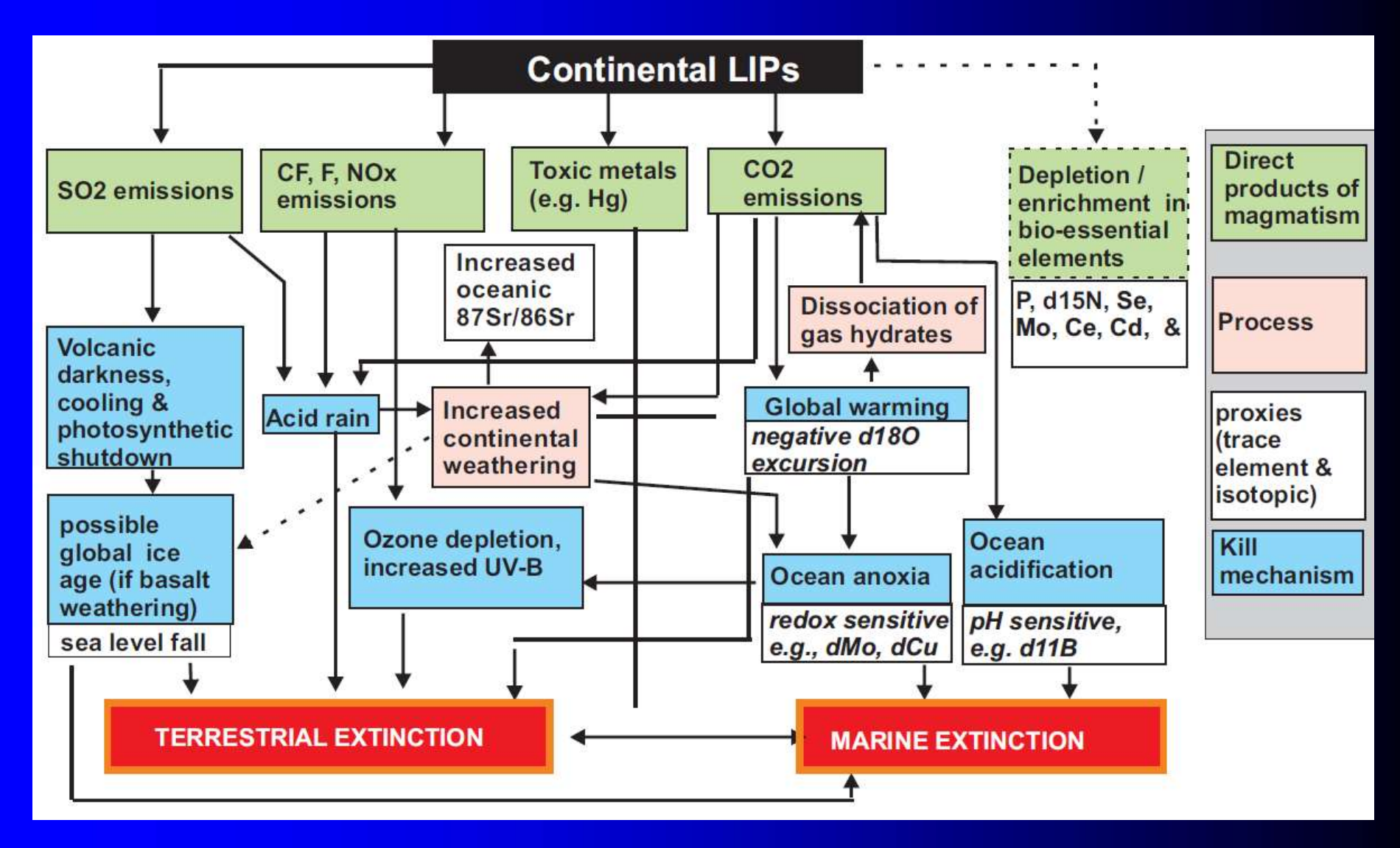
14.3 LIPs and their environmental consequences

- a) Columbia River (16.5 Ma)
- b) Afro Arabian (32-29 Ma)
- c) North Atlantic (62-58 Ma)
- d) Deccan (66 Ma)
- e) Caribbean Province (93 Ma)
- f) Ontong Java/Manihiki (122 Ma) I) Tarim (280 Ma)
- g) Parana-Etendeka (132 Ma)
- h) Karoo/Ferrar (183-179 Ma)
- i) CAMP (201 Ma)
- i) Siberian Traps (251 Ma)
- k) Emeishan (260 Ma)

- m) Jutland (300 Ma)
- n) Kola-Dneiper (370 Ma)
- o) Yakutsk-Vilyui (380 Ma)
- p) Kalkarindji (510 Ma)



СЦЕНАРИИ ВОЗДЕЙСТВИЯ LIPS НА ОСАДОЧНЫЕ БАССЕЙНЫ



Modified after Bond and Wignall (2014 in GSA SP 505)

PA3HOOFPA3ME LIPS (Ernst, 2014)



CONTINENTAL

-Continental Flood Basalt Provinces e.g., Paraná-Etendeka, Karoo, Afro-Arabia

Volcanic Rifted Margins

e.g., India-Western Australia, North Atlantic

Giant Continental Dyke Swarms, Sills & Mafic Ultramafic Intrusive Provinces

e.g., Mackenzie, Warakurna, Bushveld

High-Volume Felsic (Silicic) Provinces

e.g., Whitsunday, Chon Aike, Sierra Madre Occidental, Kennedy-Connors-Auburn, Malani

- Associated Carbonatites & Kimberlites

(e.g., as part of the Bushveld event (carbonatite) and the Siberian Trap event (kimberlite), respectively

Greenstone Belts, Extensive Tholeiite-Komatiite+ Rhyolite Volcanic Sequences & Sill Complexes

e.g., Superior, Slave, Yilgarn

Coeanic Plateaus

e.g., Ontong Java-Manihiki-Hikurangi, Kerguelen

-Ocean Basin Flood Basalts

e.g., Nauru Basin, East Mariana, Pigafetta

LIP

OCEANIC

7

1

2

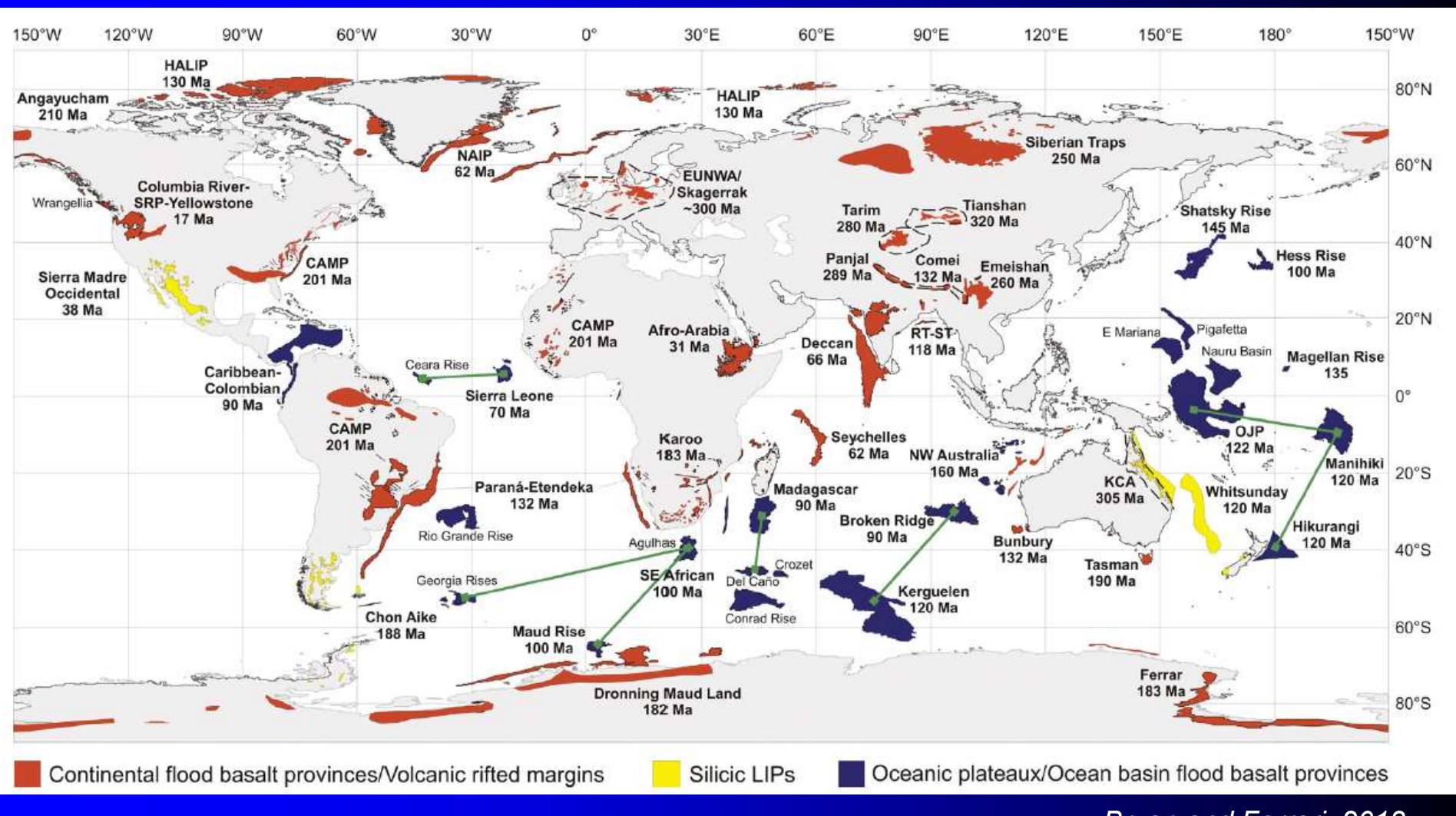
3

5

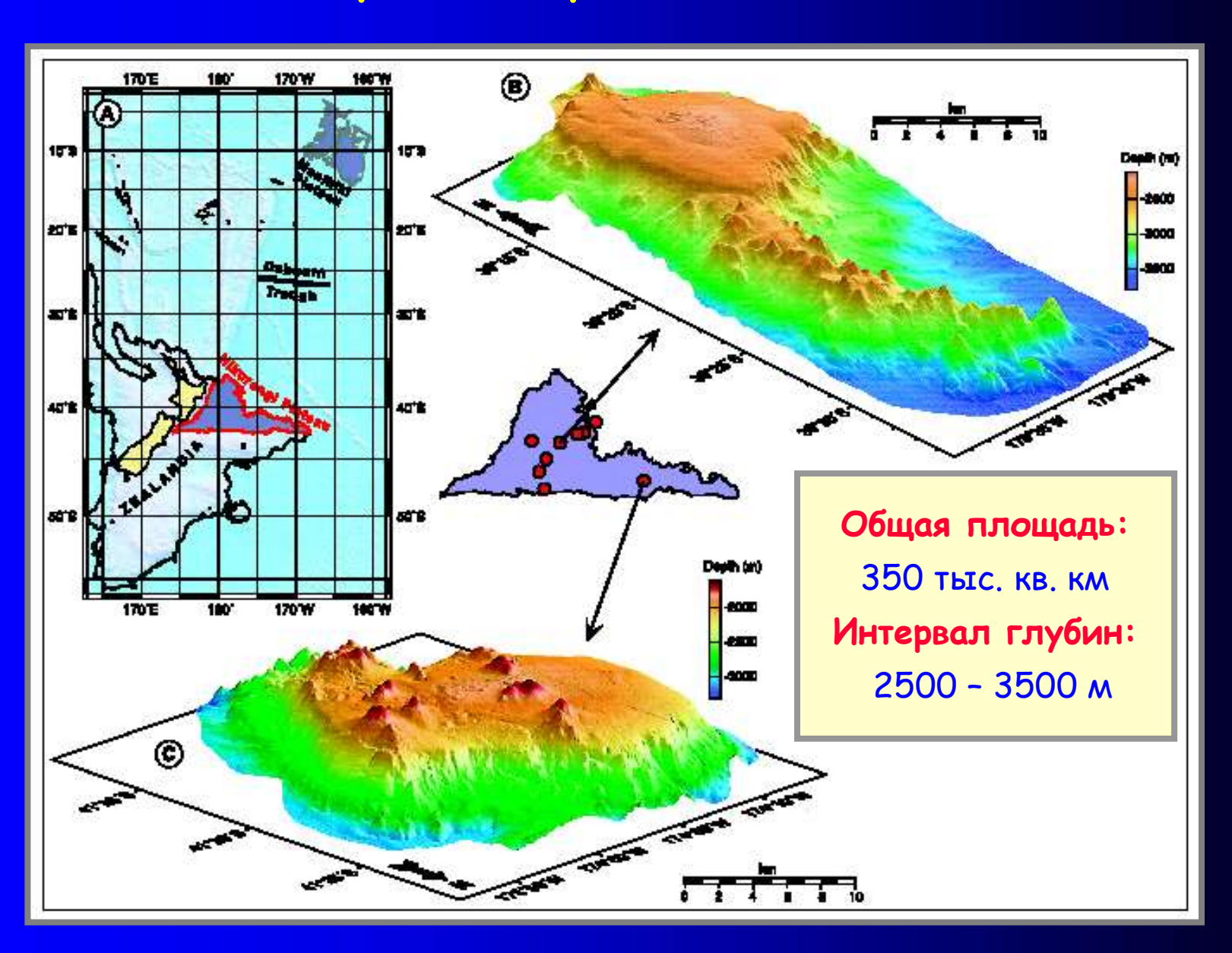
6

8

Континентальные "flood basalts", вулканические окраины континентов (зоны рифтогенеза), океанические LIPs и области проявления кислого вулканизма

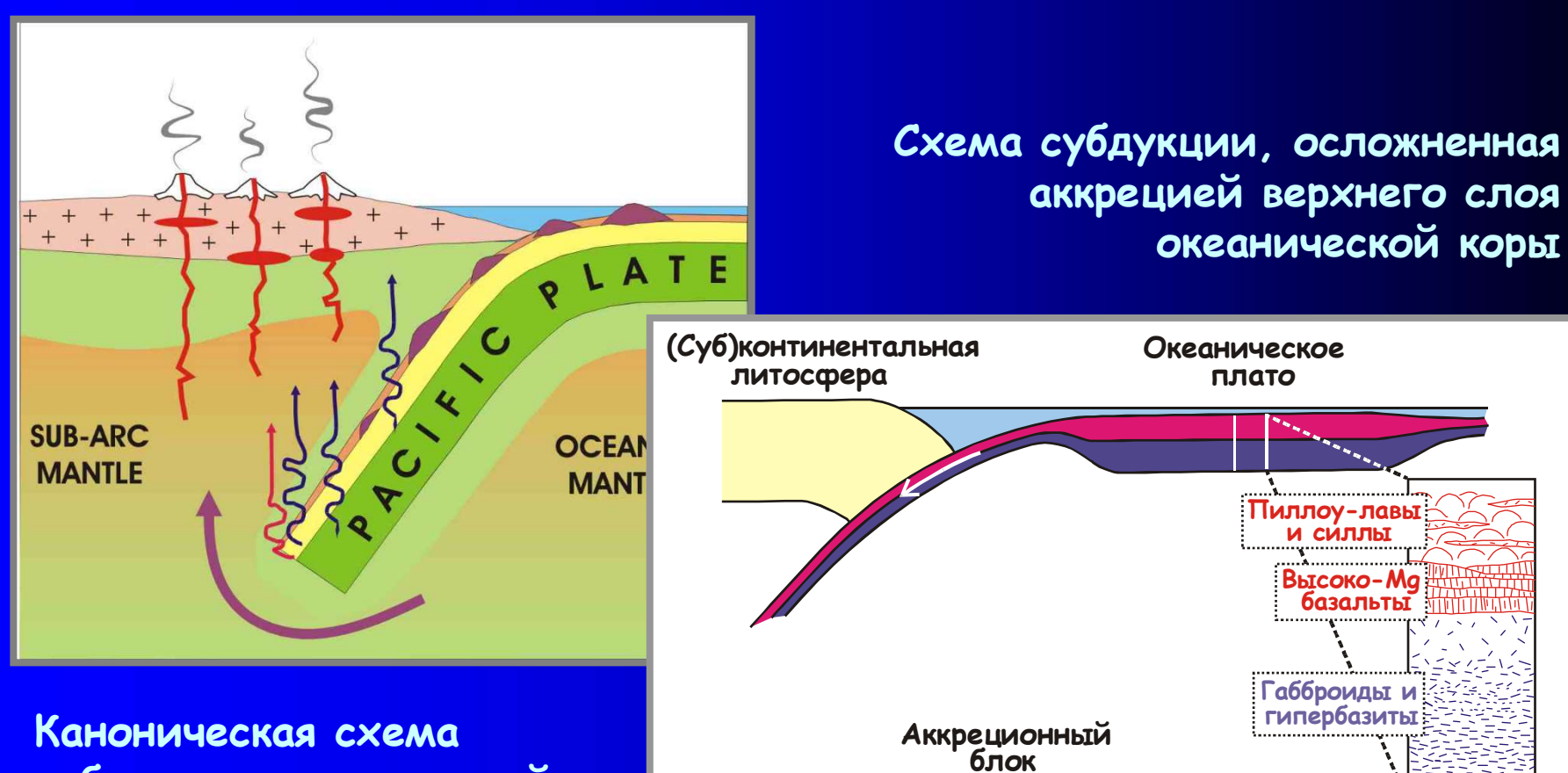


СТРОЕНИЕ ФРАГМЕНТОВ ПЛАТО ХИКУРАНГИ (к востоку от побережья Новой Зеландии)



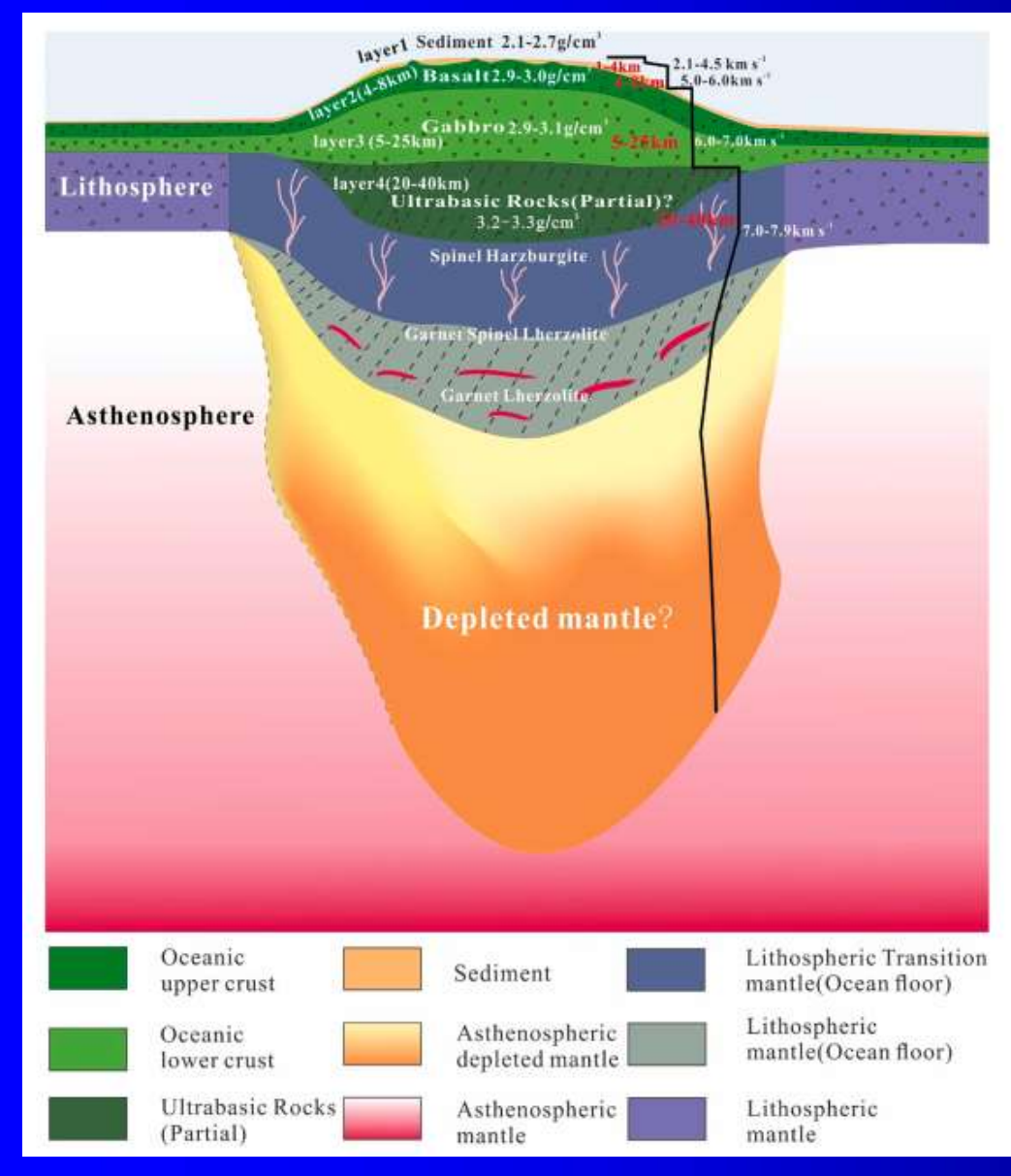
СТРОЕНИЕ СУБДУКЦИОННЫХ ЗОН ТИХОГО ОКЕАНА

Тонкая океаническая кора

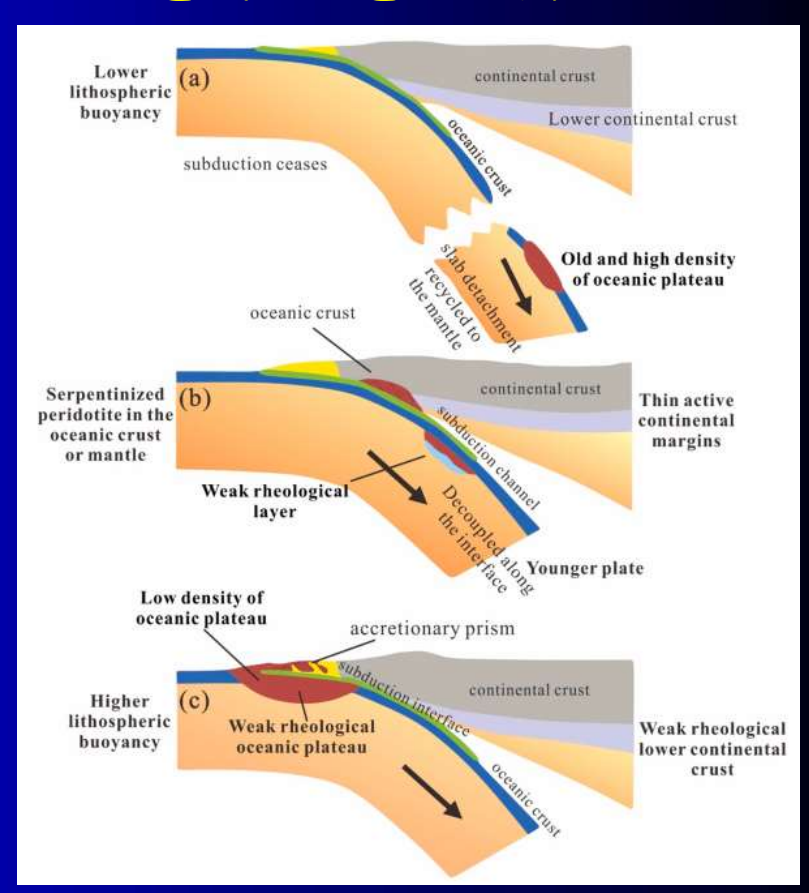


Каноническая схема субдукции океанической плиты

СОВРЕМЕННЫЕ СХЕМЫ СУБДУКЦИИ ОКЕАНИЧЕСКИХ ПЛАТО



Структурная модель океанических плато (справа профиль сейсмических волн)



(a) полная, (b) частичная и (c) аккреционная схемы субдукции океанических плато

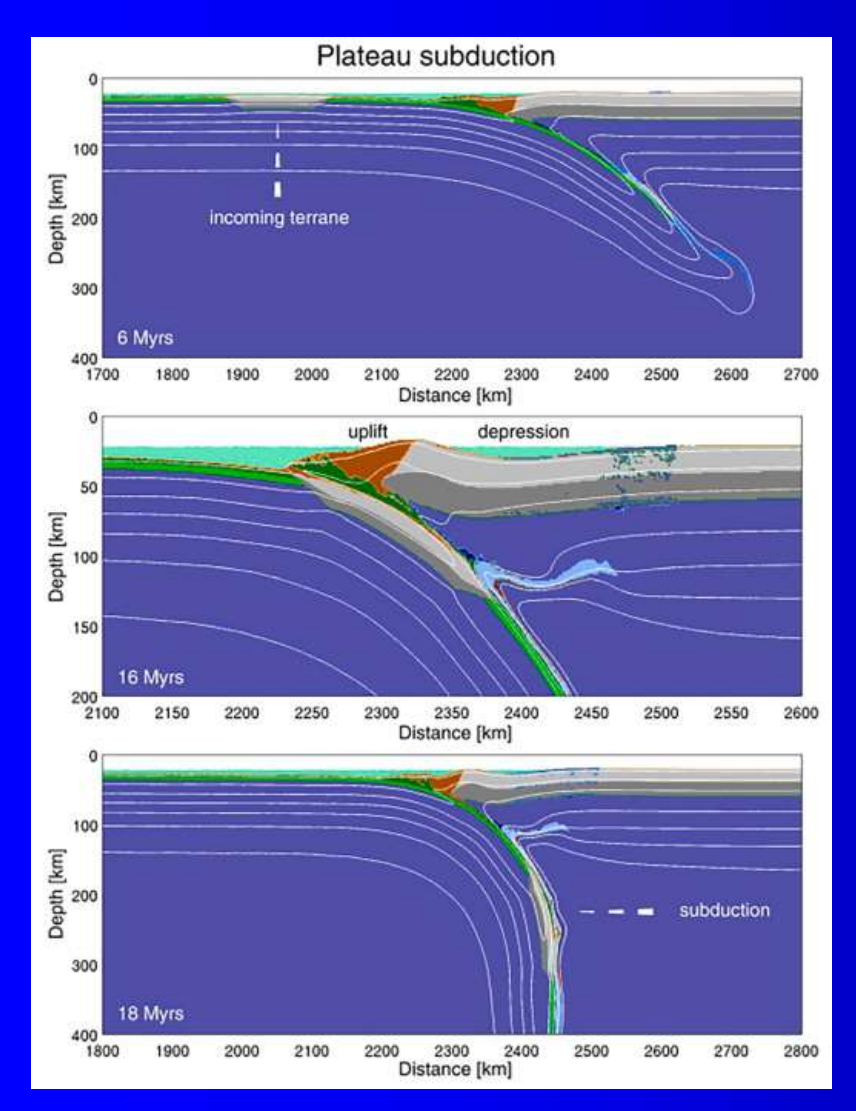


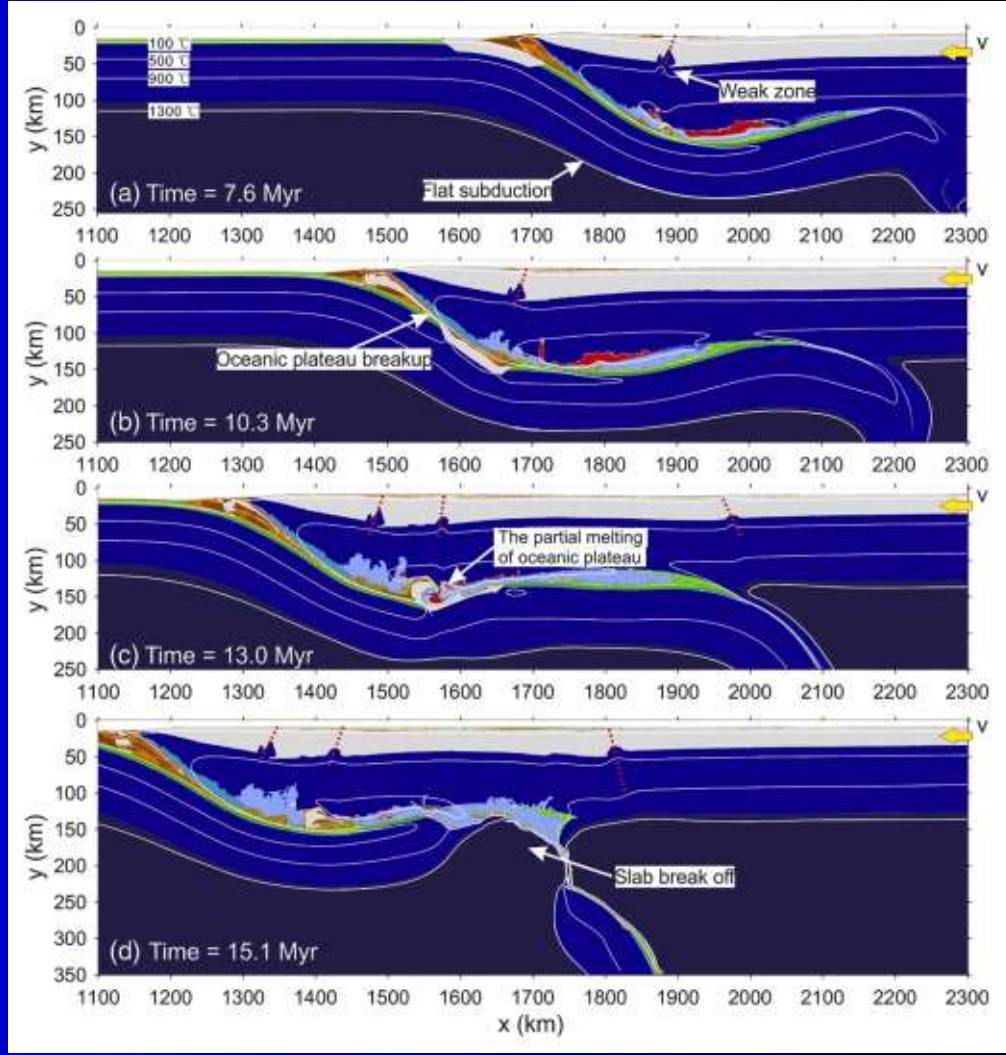
When plateau meets subduction zone: A review of numerical models

Check for

Ze Liu^{a,b}, Liming Dai ^{a,b,*}, Sanzhong Li ^{a,b,*}, Liangliang Wang ^{a,b}, Huilin Xing ^{a,b}, Yongjiang Liu^{a,b}, Fangfang Ma ^{a,b}, Hao Dong ^{a,b}, Fakun Li ^{a,b}

СОВРЕМЕННЫЕ СХЕМЫ СУБДУКЦИИ ОКЕАНИЧЕСКИХ ПЛАТО

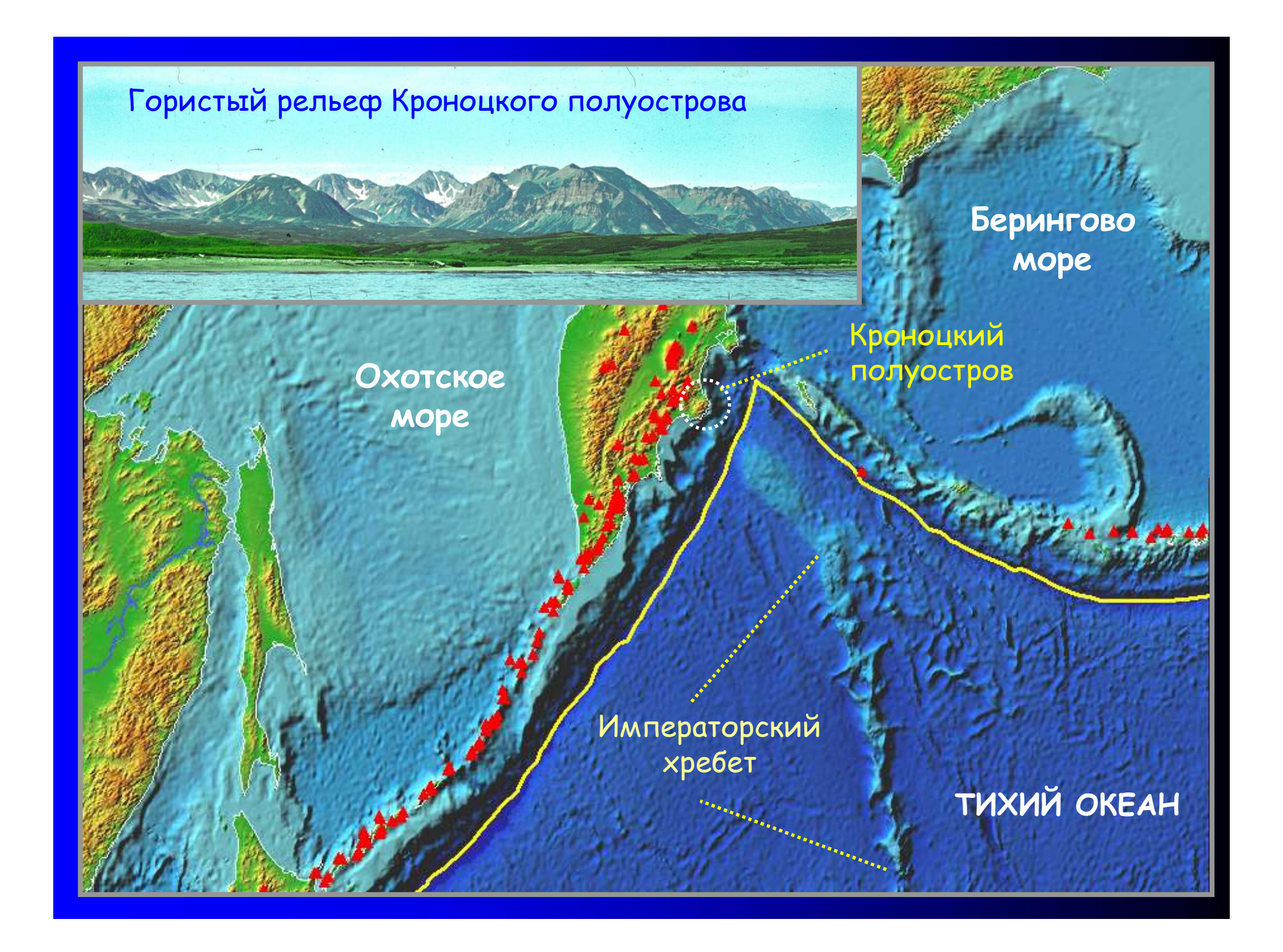




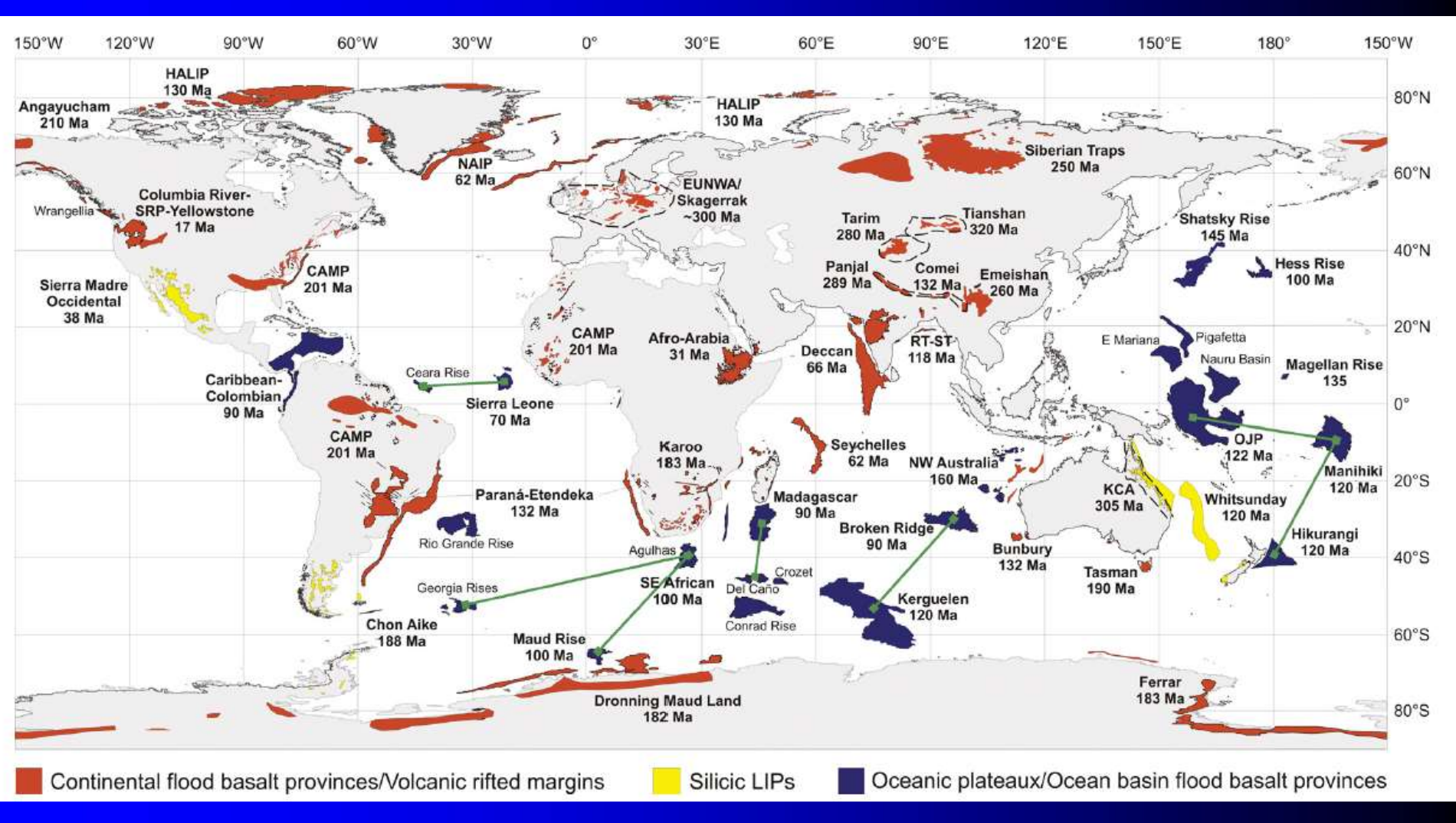
Тектоническая эволюция при полной субдукции океанических плато (Vogt, Gerya, 2014)

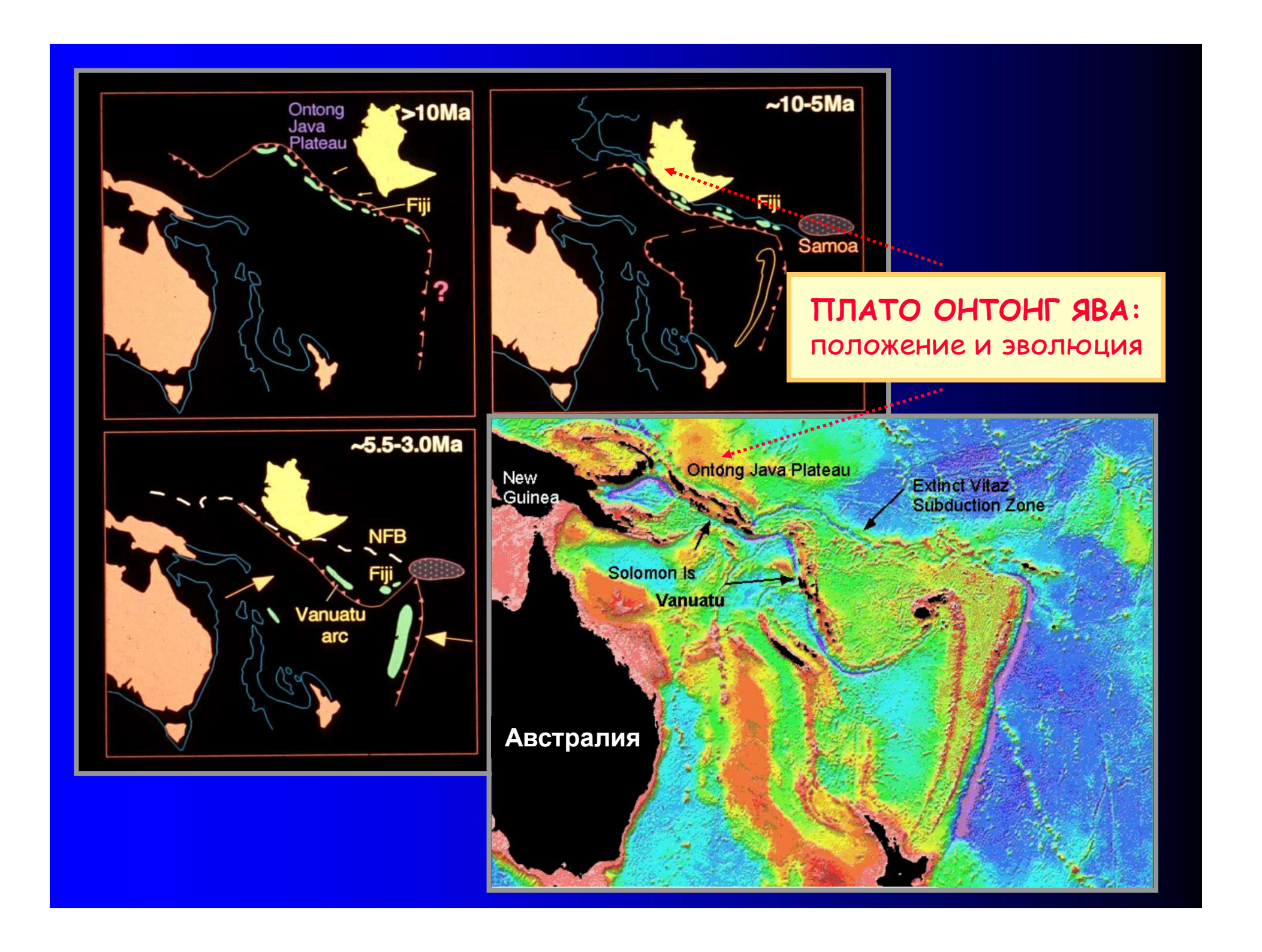
Fig. 8. 'Bottom accretion' of an oceanic plateau with continental crustal affinity (from Yang et al., 2017).

Weak 'wet quartzite' rheology is used for the crust of both the oceanic plateau and the overriding continental plate. The initial age of the oceanic plate is 40 Ma. The convergence rate is V = 8 cm/y.

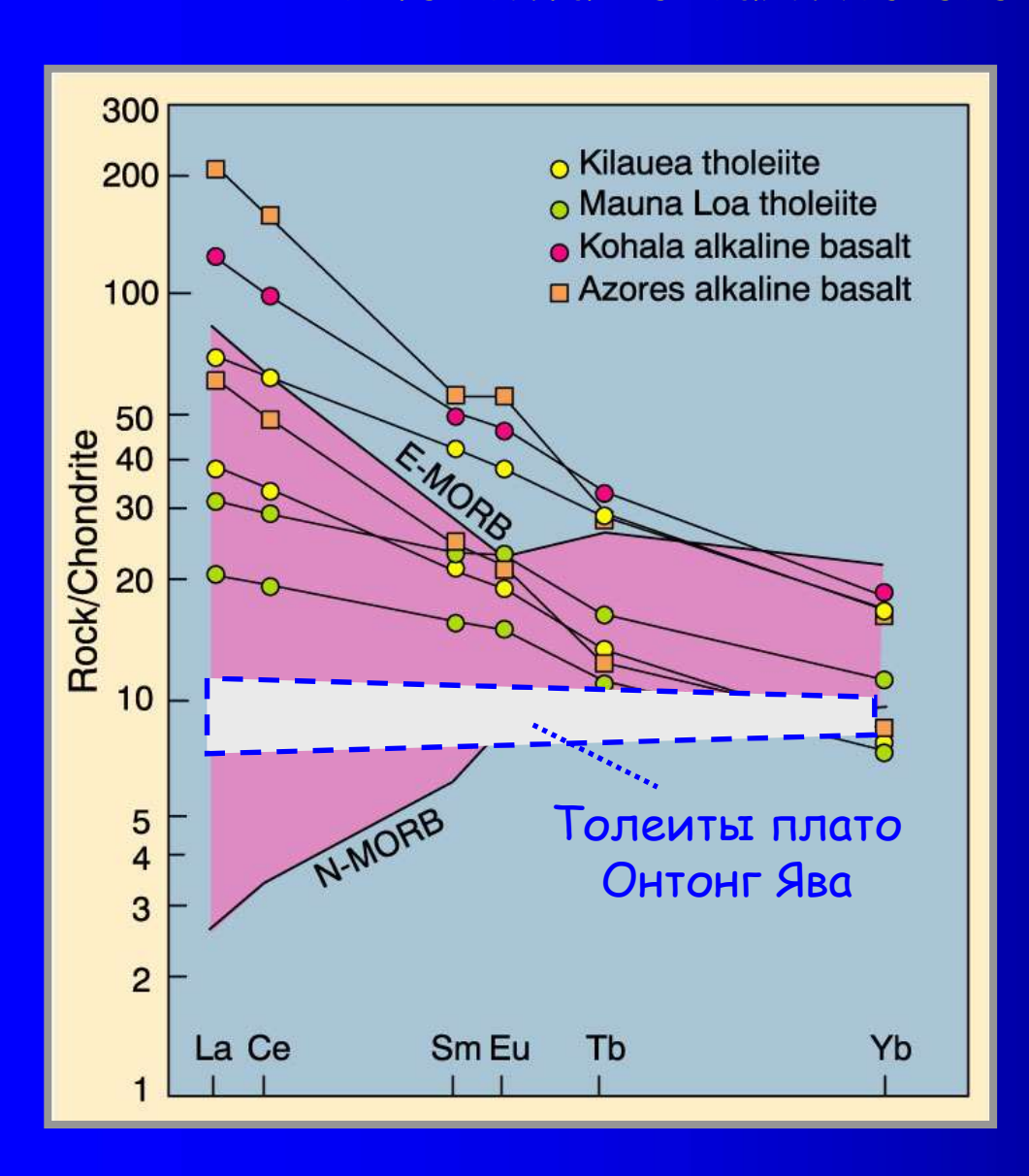


Континентальные "flood basalts", вулканические окраины континентов (зоны рифтогенеза), океанические LIPs и области проявления кислого вулканизма





РАСПРЕДЕЛЕНИЕ РЕДКОЗЕМЕЛЬНЫХ ЭЛЕМЕНТОВ в толеитах океанического плато Онтонг Ява



Подобные "плоские" спектры редких земель характерны также для базальтов Кроноцкого и Карибского террейнов.

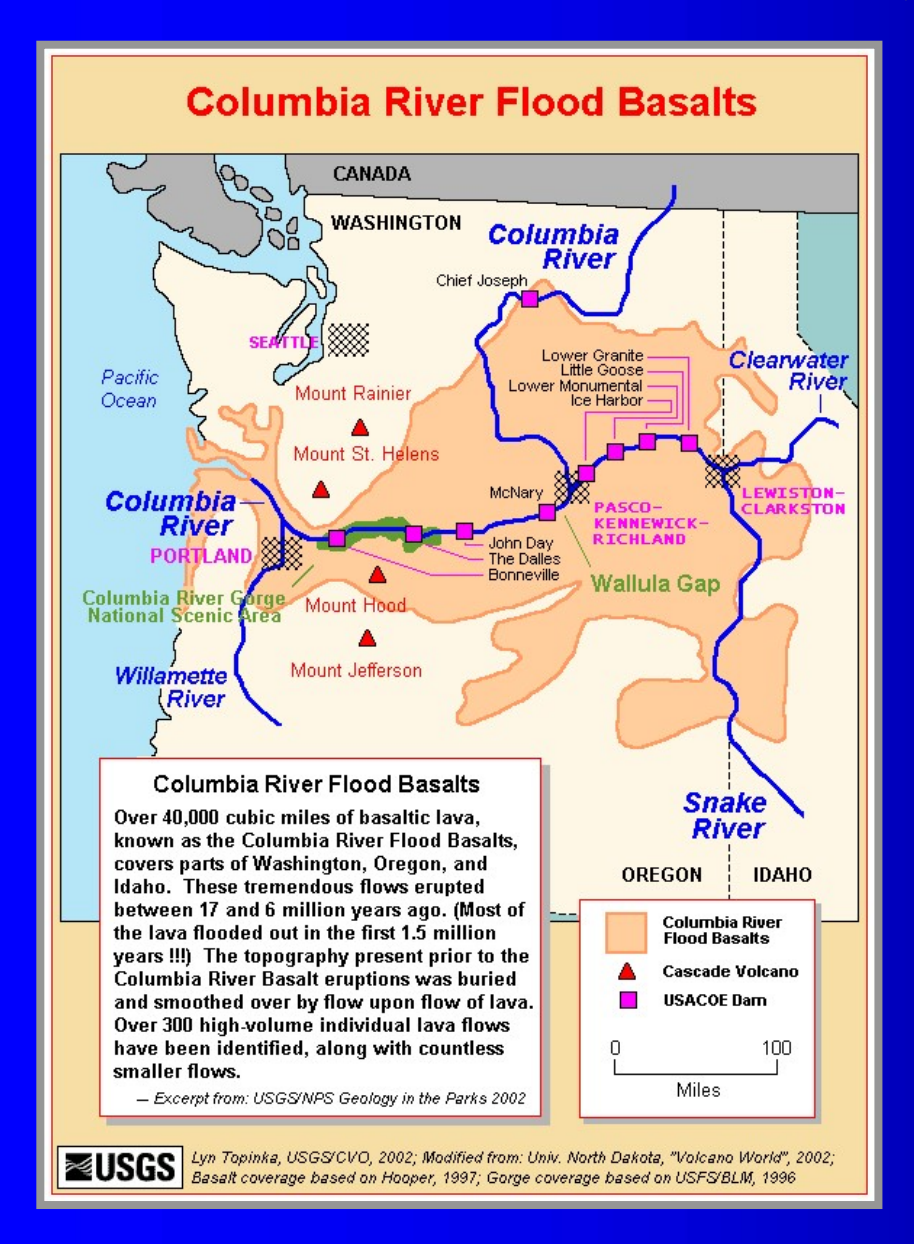
Этот признак является типоморфной особенностью толеитового магматизма океанических плато.

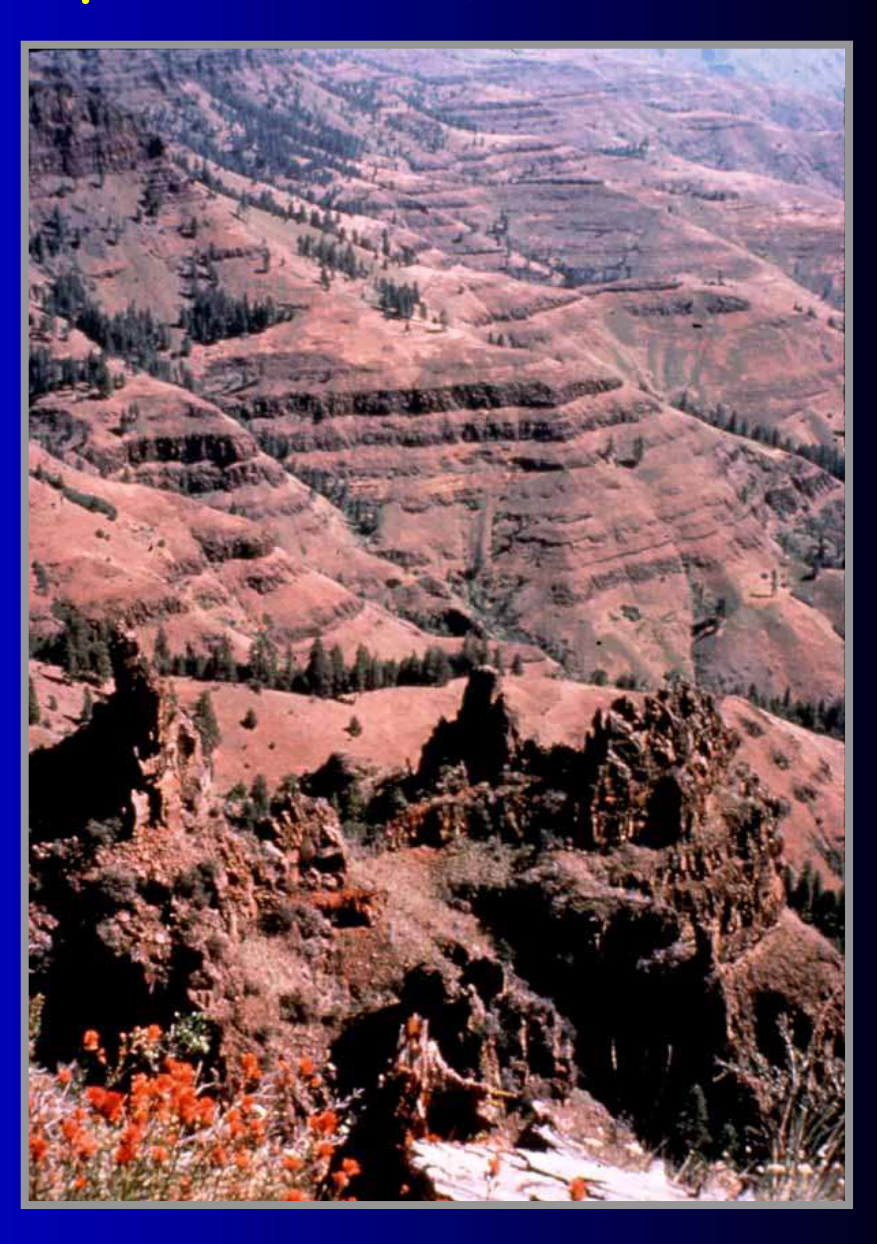
МЕХАНИЗМ ОБРАЗОВАНИЯ И ИСТОЧНИК МАГМАТИЧЕСКОГО МАТЕРИАЛА

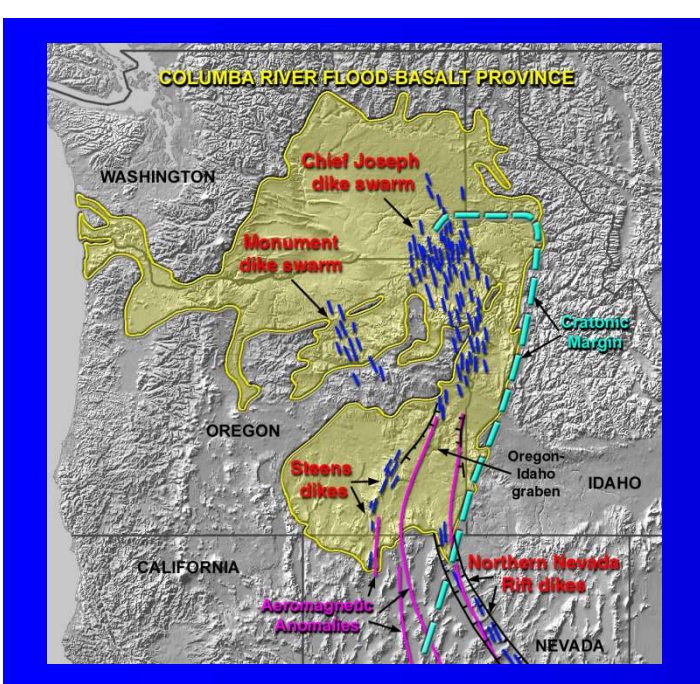
- (1) Одни авторы полагают, что определяющую роль играет декомпрессионное плавление мантийного вещества непосредственно внутри поднимающегося плюма. В этих случаях степень плавления мантийного перидотита должна составлять порядка 15-20%.
- (2) Другие указывают на возможность вовлечения в процессы плавления рециклированного базальтового материала океанической литосферы. С учетом этого обстоятельства общая степень плавления гибридизированного материала может увеличиться до 30-40%.

Альтернатива мантийного и литосферного источника платобазальтов составляет ядро дискуссий о природе континентального траппового магматизма.

ТОКРОВНЫЕ БАЗАЛЬТЫ КОНТИНЕНТАЛЬНОГО ПЛАТО РЕКИ КОЛУМБИЯ (северо-запад США)





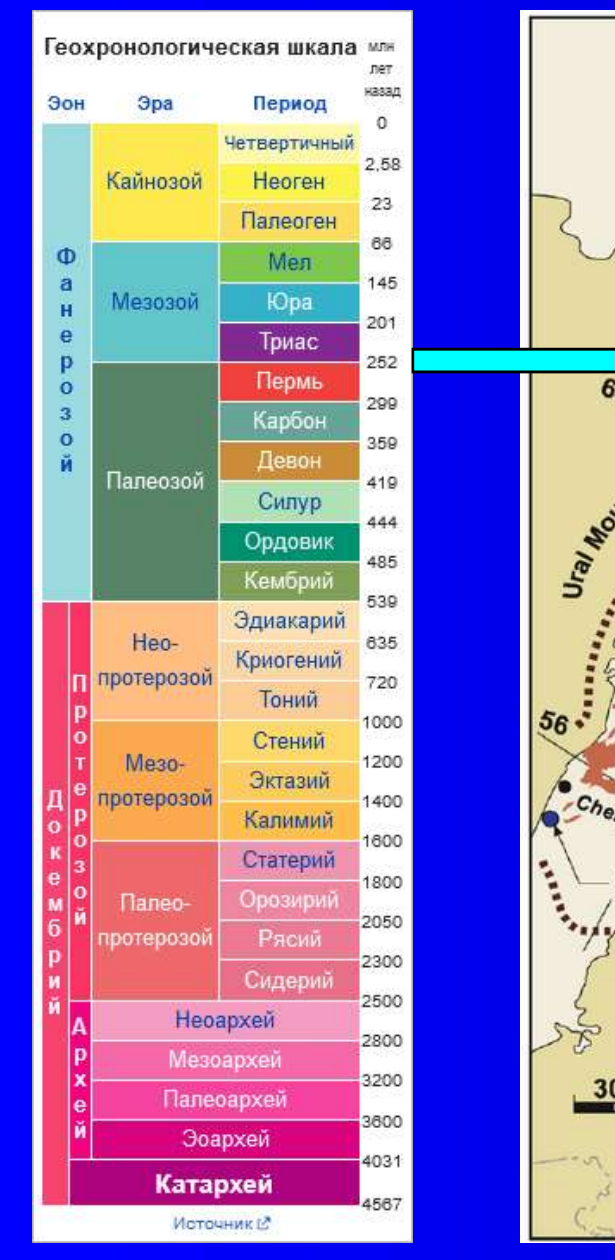


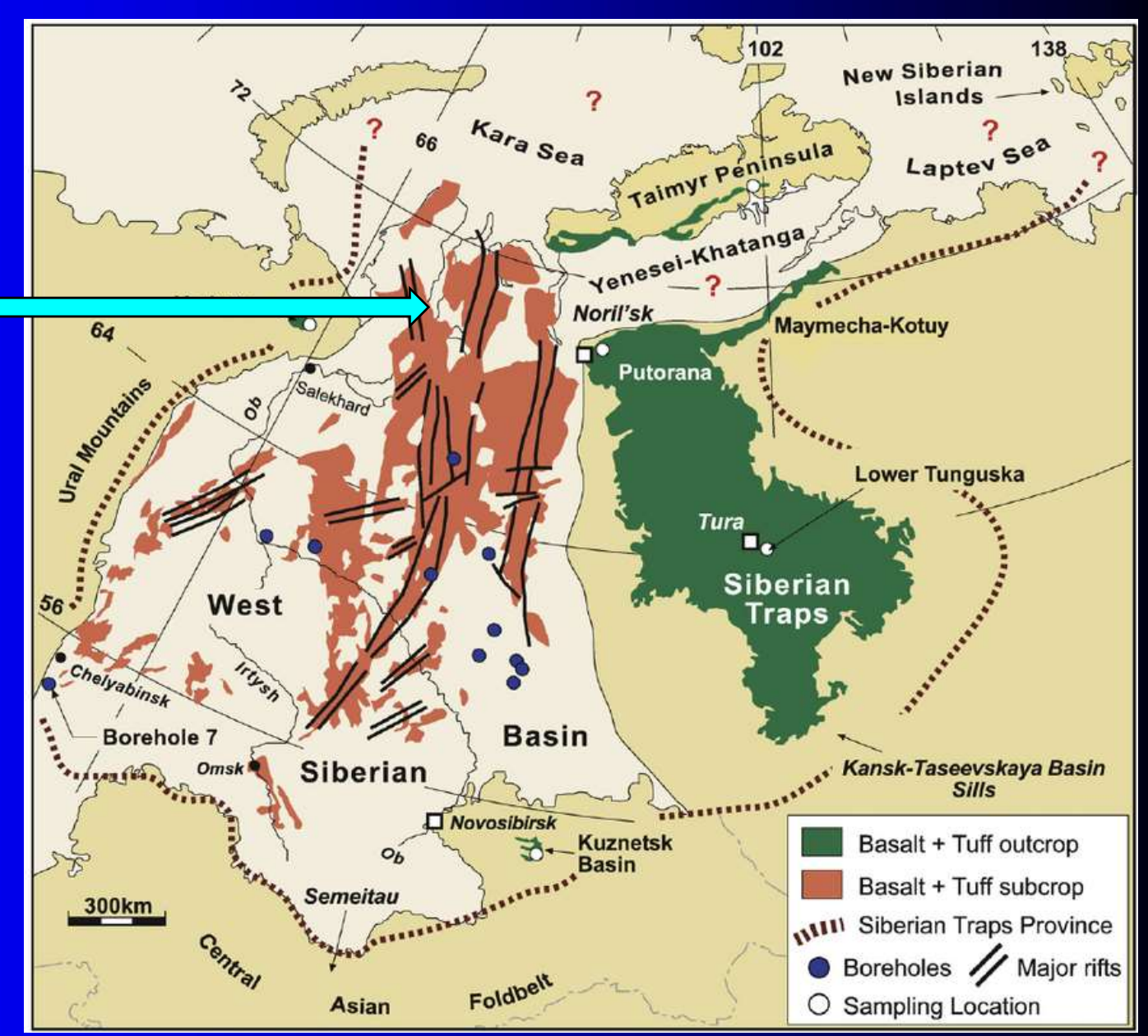
ПОКРОВНЫЕ БАЗАЛЬТЫ РЕКИ КОЛУМБИЯ





ТРАППЫ ВОСТОЧНОЙ СИБИРИ





ОБЩИЙ ВИД БАЗАЛЬТОВОГО ПЛАТО ПУТОРАНА

(Июль 1989 Г.)





ТРАППЫ ПЛАТО ПУТОРАНА





ТРАППЫ ПЛАТО ПУТОРАНА

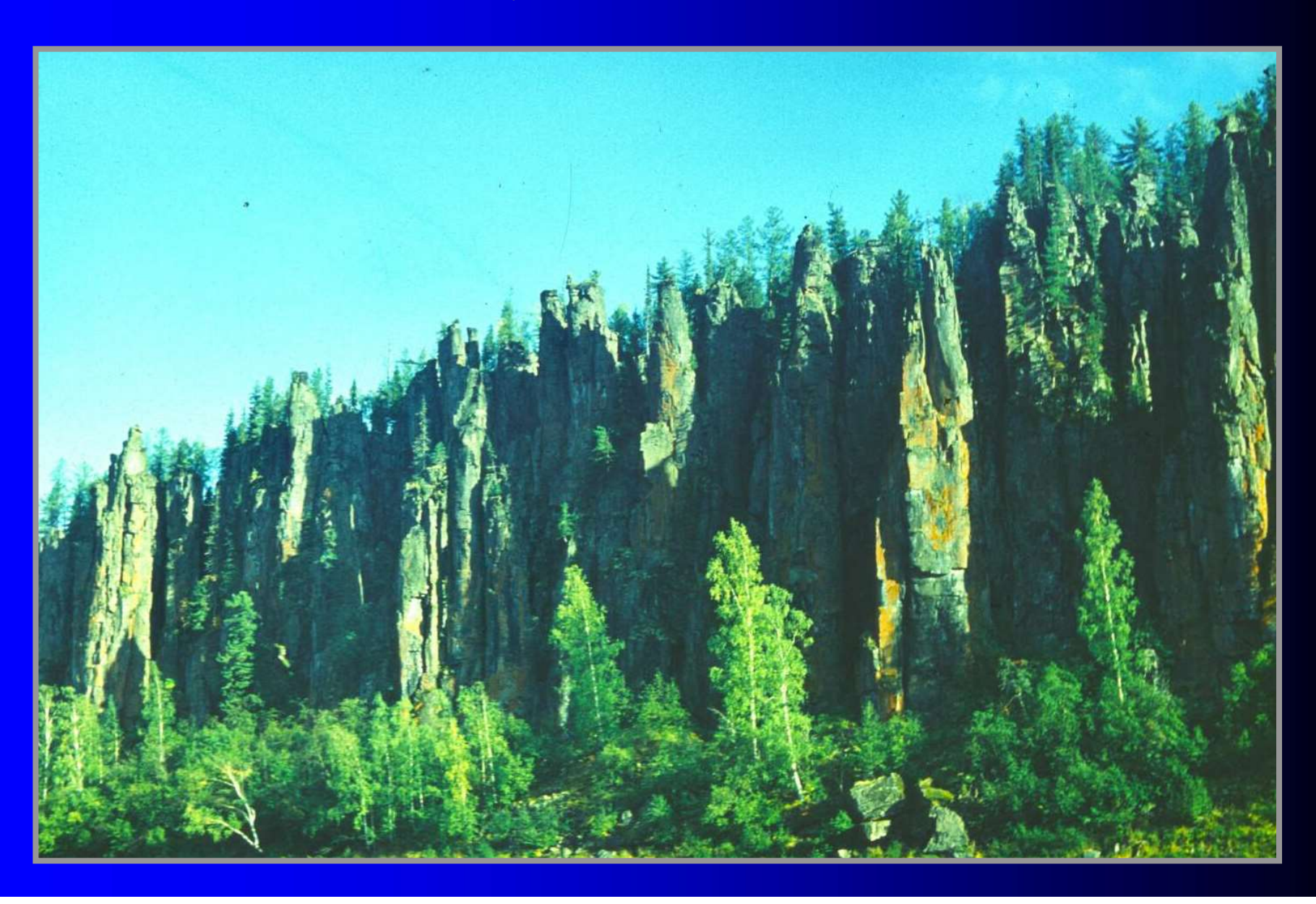


ТРАППЫ В ДОЛИНЕ Р. ПОДКАМЕННАЯ ТУНГУСКА

(Восточная Сибирь, июль 1976)



СТОЛБЧАТАЯ ОТДЕЛЬНОСТЬ ДОЛЕРИТОВ ДОЛИНЫ РЕКИ ПОДКАМЕННАЯ ТУНГУСКА

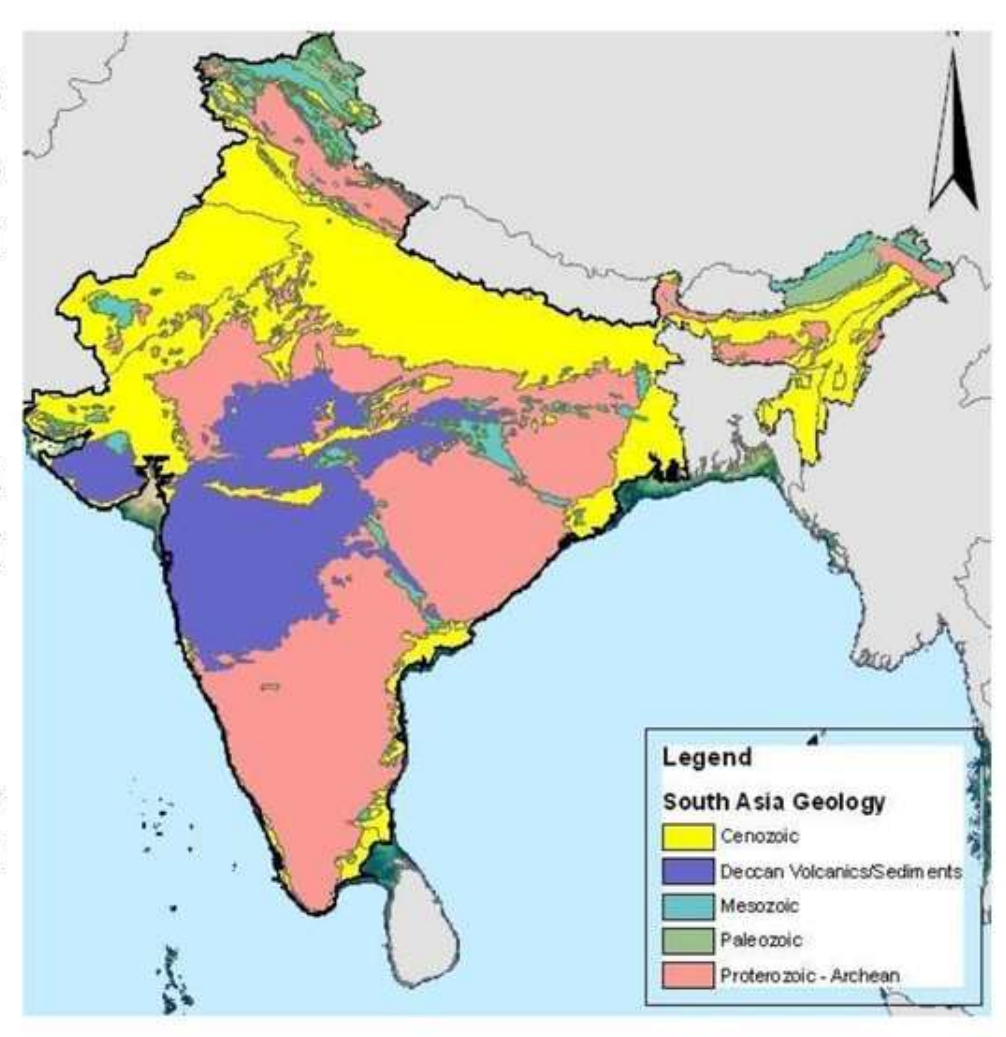


ТРАППЫ ПЛАТО ДЕКАН

Мощность базальтов более 2000 м., площадь 1,5 млн. км². Объем базальтов 512 000 км³.

Извержения произошли на границе **мела и палеогена.**

Рельеф – плато 200-600 м, расчлененное глубокими долинами.



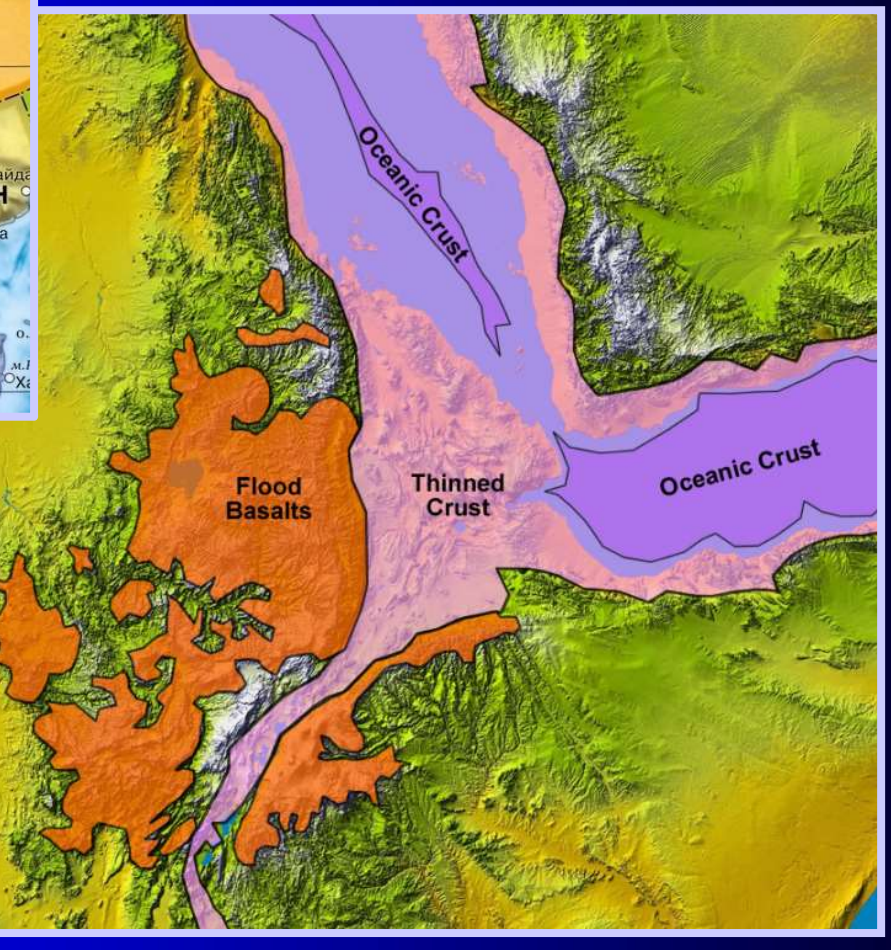


ТРАППЫ ПЛАТО ДЕКАН



Сива Эль-Гиза ОСуэц Эль-ФайюмО Ауджила ДОВ АРАВИЯ

ТРАППЫ ЭФИОПИИ



ТРАППЫ ЭФИОПИИ



ТРАППЫ БАССЕЙНА ПАРАНА В БРАЗИЛИИ



Парана бассейн (португальский : Васіа

Парана, испанский: Куэнка Парана) является большим кратоном осадочного бассейна, который расположен в центрально-восточной части Южной Америки. Около 75% ее ареала распространения происходит в Бразилии. Остаток распределяется на востоке Парагвая, северо - востоке Аргентины и на севере Уругвая. Форма депрессии примерно эллиптическая и охватывает площадь около 1500000 км ² (580000 квадратных миль).

Крупная магматическая провинция была образована излияниями <u>базальтов</u>, что произошли 137 до 127 миллионов лет назад и связаны с <u>рифтогенезом</u> Гондваны и раскрытием <u>Южной Атлантики.</u>
Площадь менее 1 млн. 000000 квадратных километров (390000 квадратных миль). Мощность траппов составляет 2000 м (6,600 футов).

Генетически связаны с траппами Etendeka в <u>Намибии</u> и <u>Анголе</u> в Юго - Западной Африке

ТРАППЫ РЕКИ ПАРАНА В БРАЗИЛИИ

(водопады Игуасу)



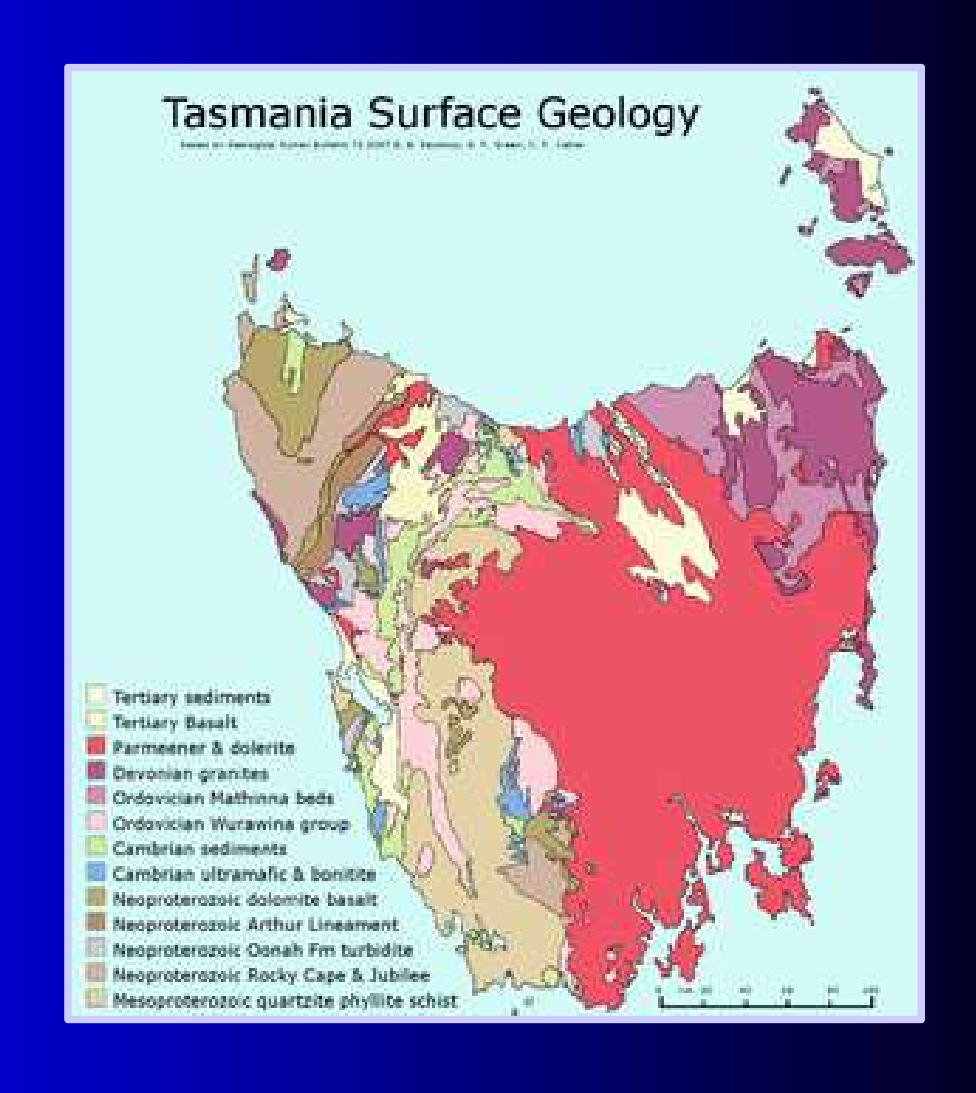
Базальтовые отложения, по которым стекают водопады, возникли примерно 130-140 млн лет назад. Около 20 тыс. лет назад комплекс водопадов Игуасу располагался практически у впадения реки Игуасу в Парану. Каждый год расстояние между водопадом и рекой Парана увеличивалось примерно на 1—2 м и в результате получилось 28 км.

Первого европейца, ступившего на данную землю и считающегося открывателем водопадов, звали <u>Нуньес Кабеса де Вака</u>. Он открыл их в 1541 году, когда продвигался вверх по течению реки Парана через джунгли в поисках легендарных сокровищ страны <u>Зльдорадо</u>.

TINDONESIA Cast Timor Compani Compan

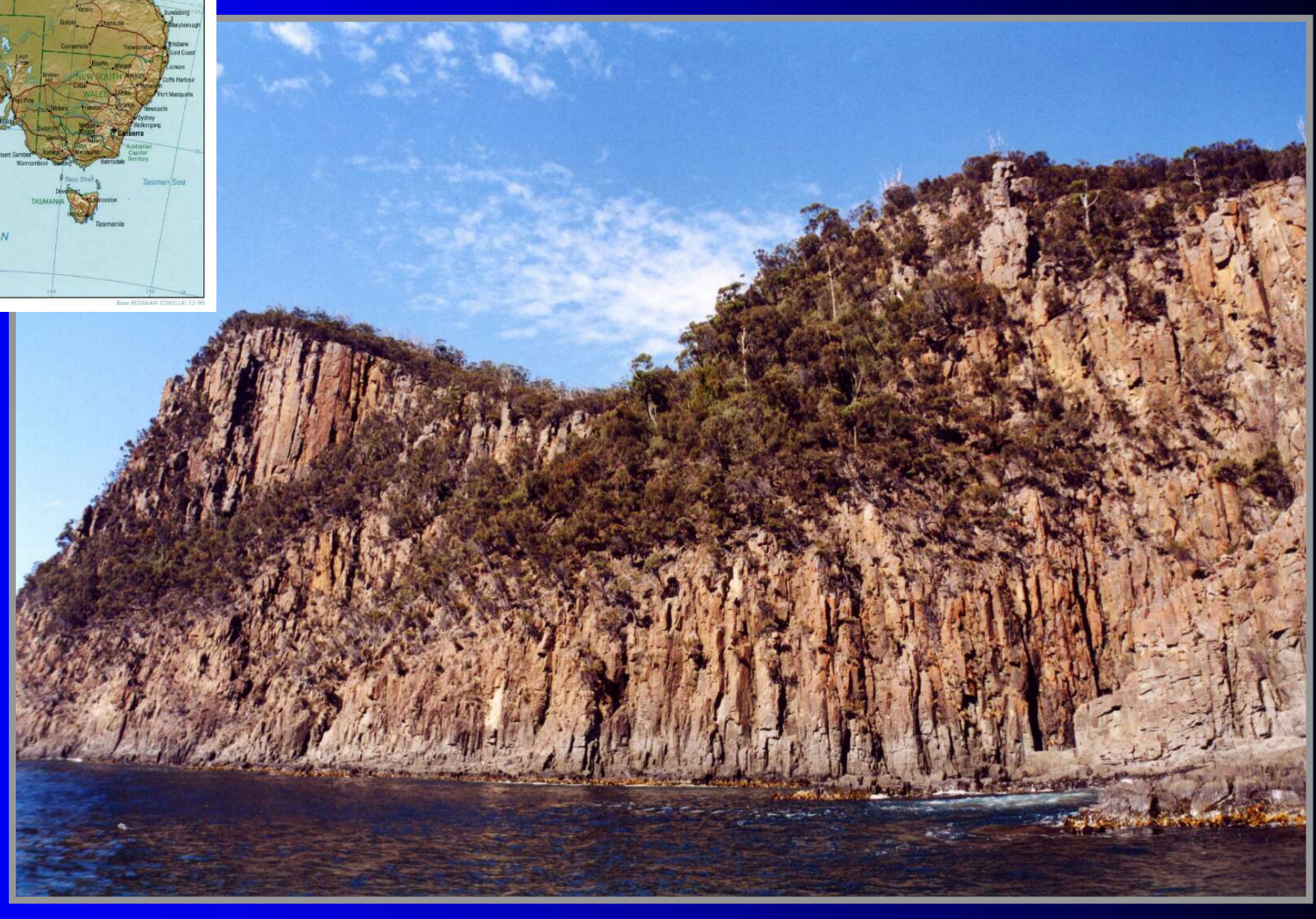


ТРАППЫ ТАСМАНИИ



INDONES IA LEAT TOUR LEAT TOUR

ПРИБРЕЖНЫЕ ОБНАЖЕНИЯ ТАСМАНСКОГО ДОЛЕРИТА В ЮГО-ВОСТОЧНОЙ ЧАСТИ ОСТРОВА ТАСМАНИЯ



СКАЛЬНЫЕ ВЫХОДЫ ТАСМАНСКОГО ДОЛЕРИТА



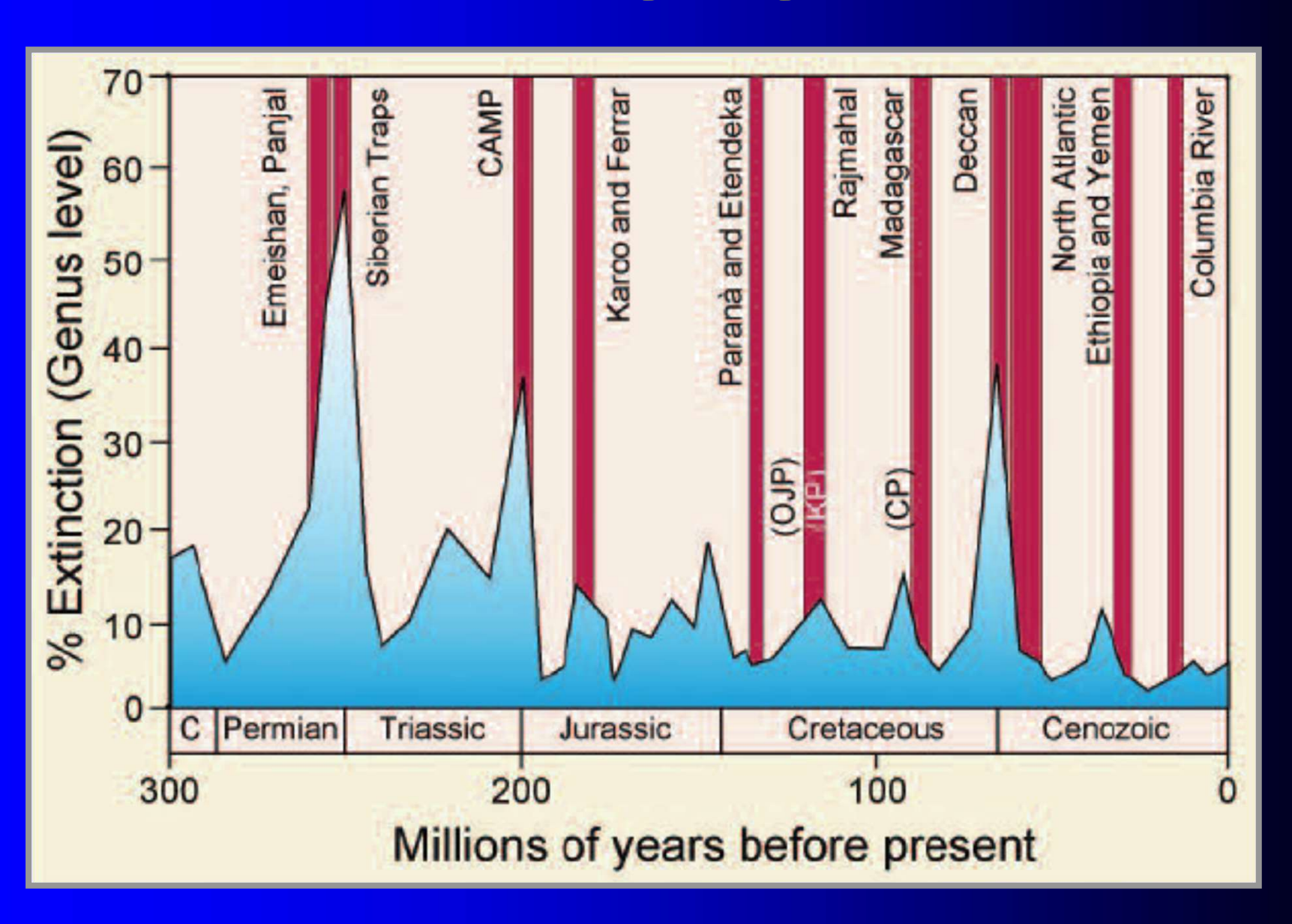
"ДОЛЕРИТОВАЯ" СТРУКТУРА ТАСМАНСКИХ ДОЛЕРИТОВ



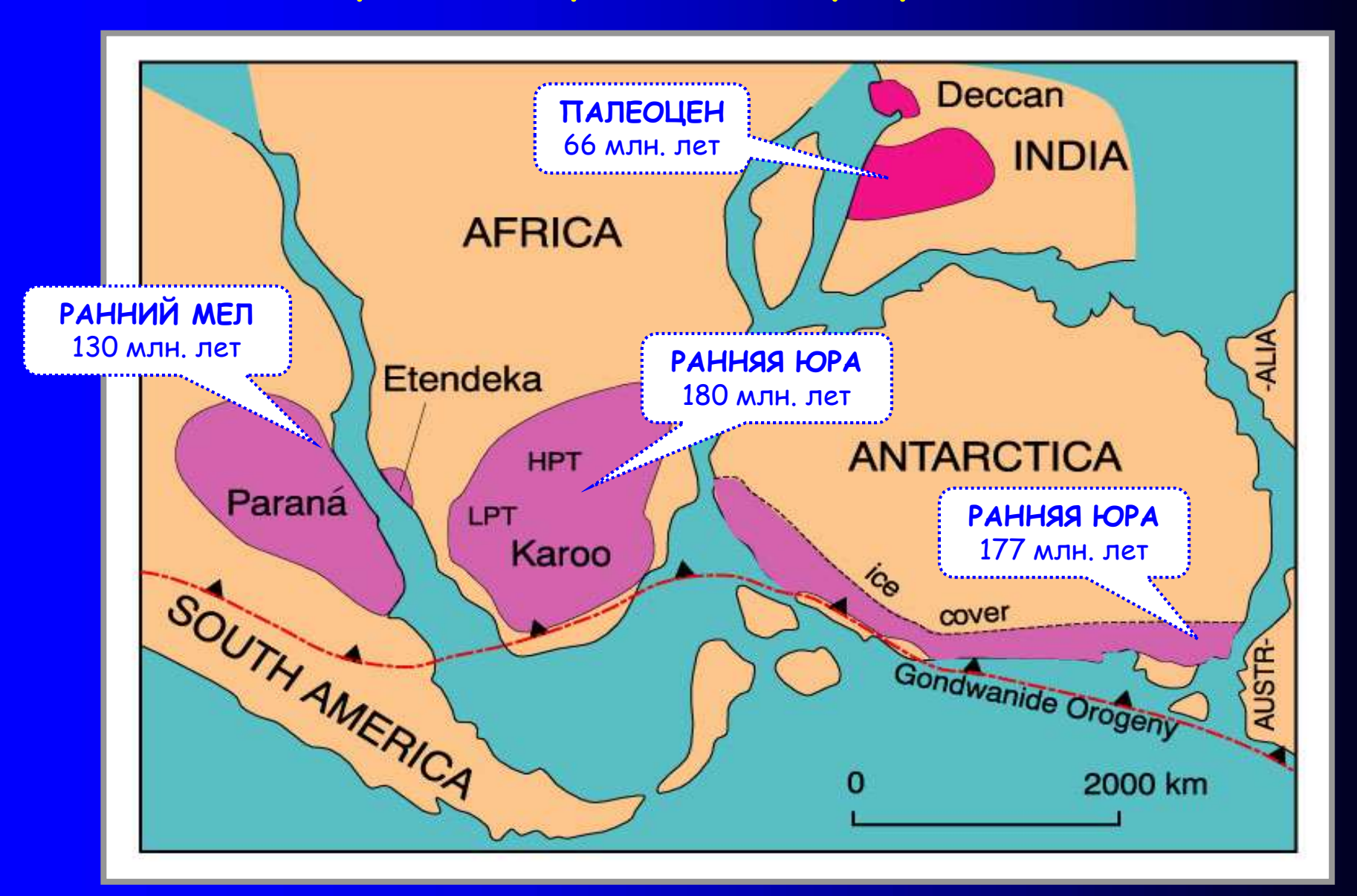
ГЛАВНЫЕ ПЛАТОБАЗАЛЬТОВЫЕ ПРОВИНЦИИ КОНТИНЕНТОВ

ФОРМАЦИЯ	<i>О</i> БЛ <i>АС</i> ТЬ	BO3PACT	мощность	ПЛОЩАДЬ
(ПРОВИНЦИЯ)	РАСПРОСТРАНЕНИЯ	(МЛН. ЛЕТ)	(MAX, KM)	(COBPEM., KM ²)
Keweenawan	Озеро Верхнее,	Позд. докембрий	10	1000000
	Канада	(1100-1200)	12	> 1000000
Сибирские траппы	Восточная Сибирь,	Пермь – триас	3.5	> 1500000
	Россия	(248-216)		
14	10	10: (20: 4:(1)	•	140000
Карру	Южная Африка	Юра (206-166)	9	140000
Долериты	Антарктида и	Юра	0.9	7800
Ferrar-Tasmania	о. Тасмания	(179± 7)	5.2	, 555
		10	4.0.70.0	1200000 /
Parana / Etendeka	Бразилия / Намибия	Юра - мел (140-110)	1.8 /0.9	1200000 / 78000
БритАрктическая	Северная Атлантика	(140-110) Мел - эоцен		7 0000
провинция		(65-50)	2	1000000
		_		500000
Плато Декан	Индия	Граница мела -	> 2	500000
		палеоцена		
Плато Колумбия	Северо-Запад США	Миоцен (17-6)	> 1.5	50000
<u> </u>	,	` ,		

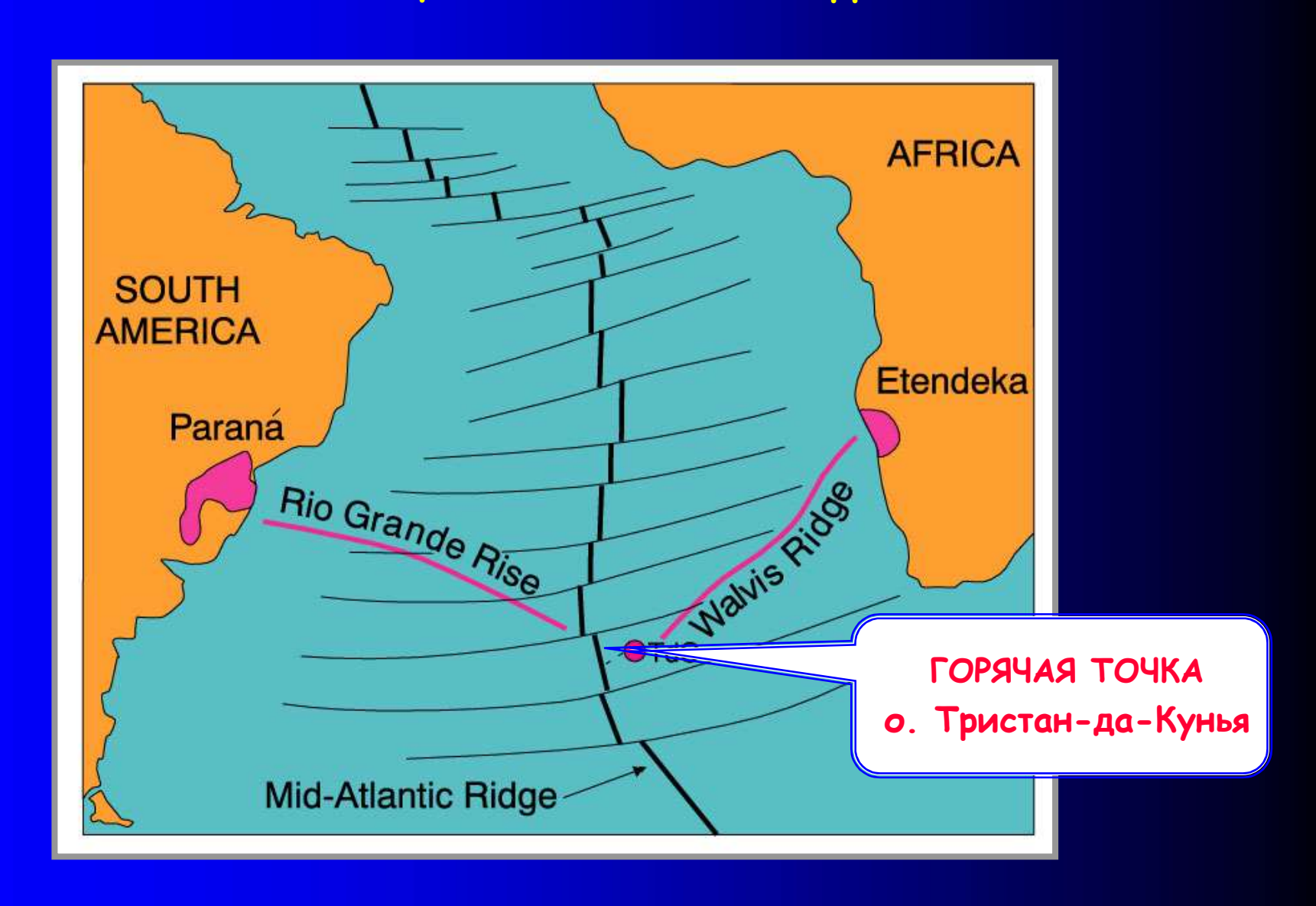
ПЕРИОДИЧНОСТЬ ТРАППОВОГО МАГМАТИЗМА И МАСШТАБЫ ИСЧЕЗНОВЕНИЯ ФАУНЫ

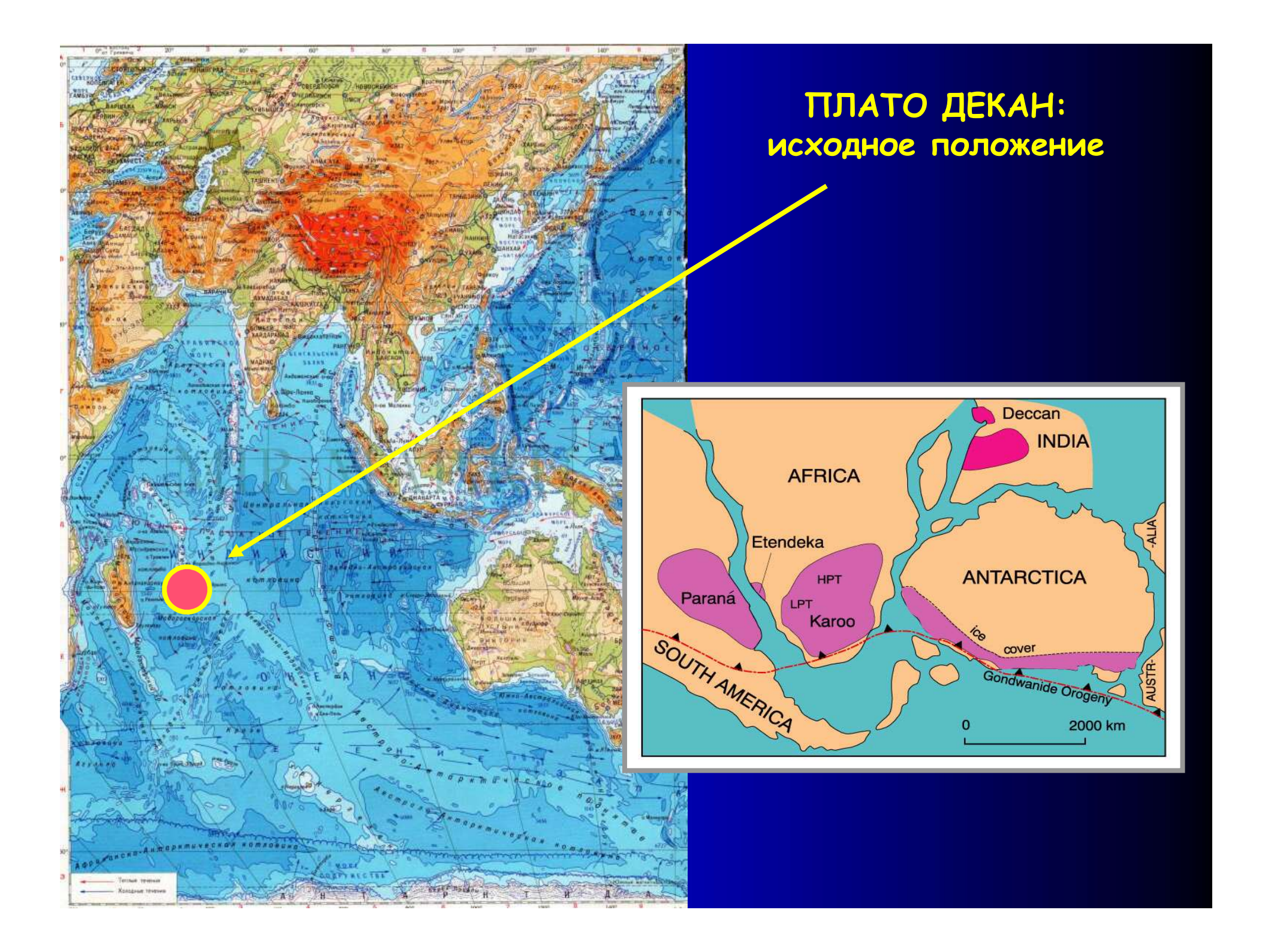


ГЛАВНЫЕ ПЛАТОБАЗАЛЬТОВЫЕ ПРОВИНЦИИ ГОНДВАНЫ до раскола и разделения суперконтинента

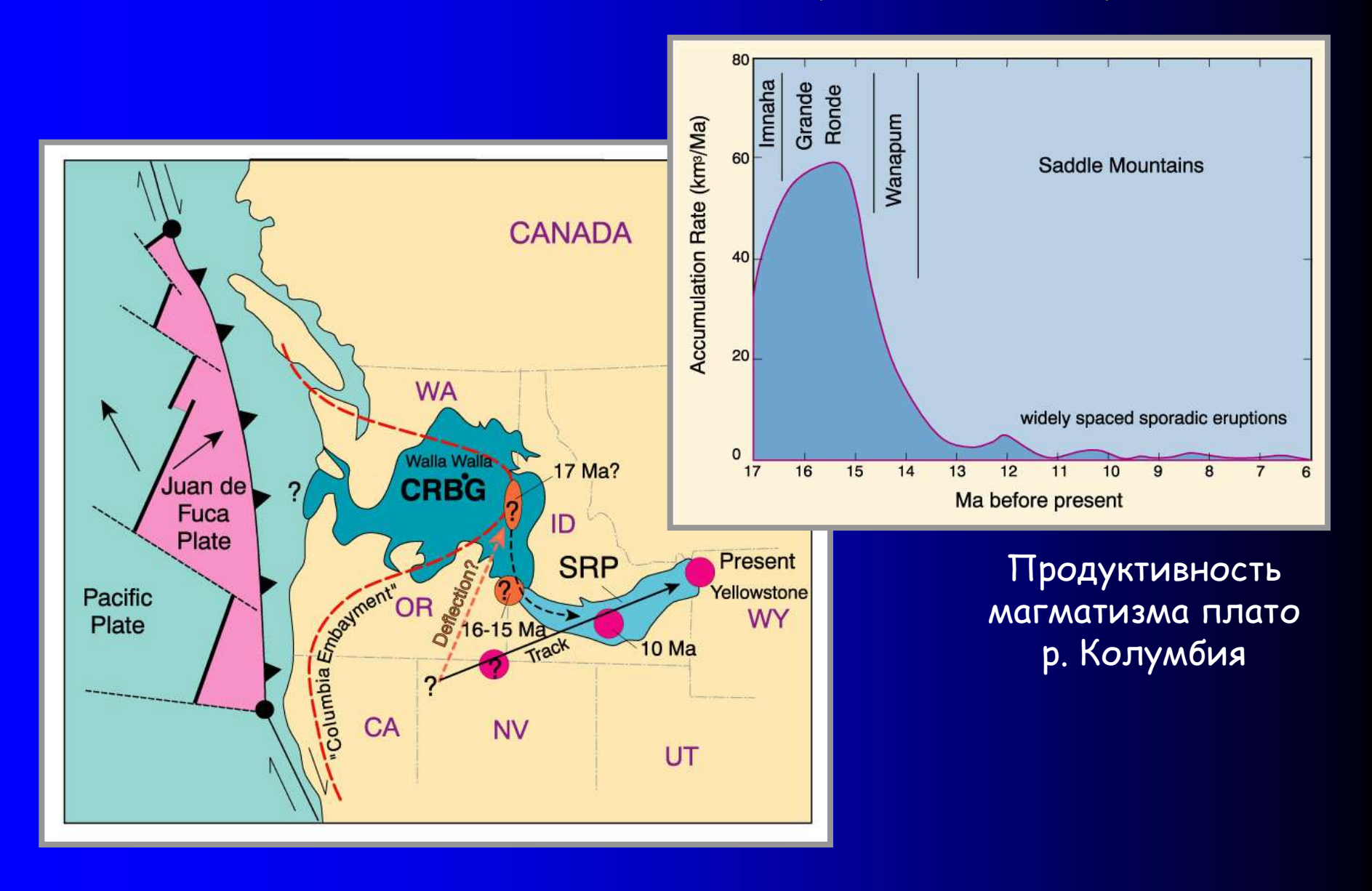


ТРОВИНЦИЙ ПАРАНЫ И ЭТЕНДЕКИ

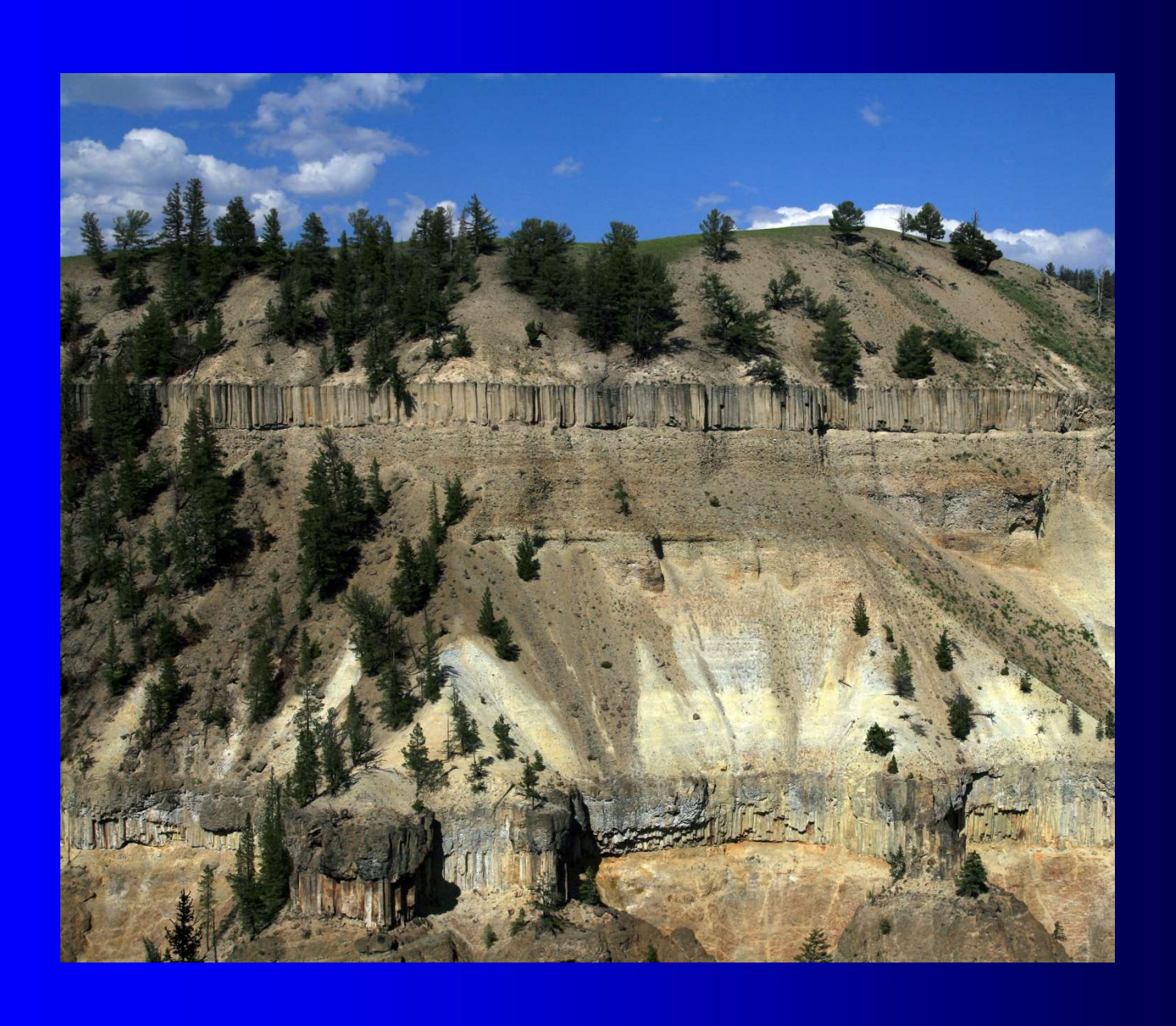




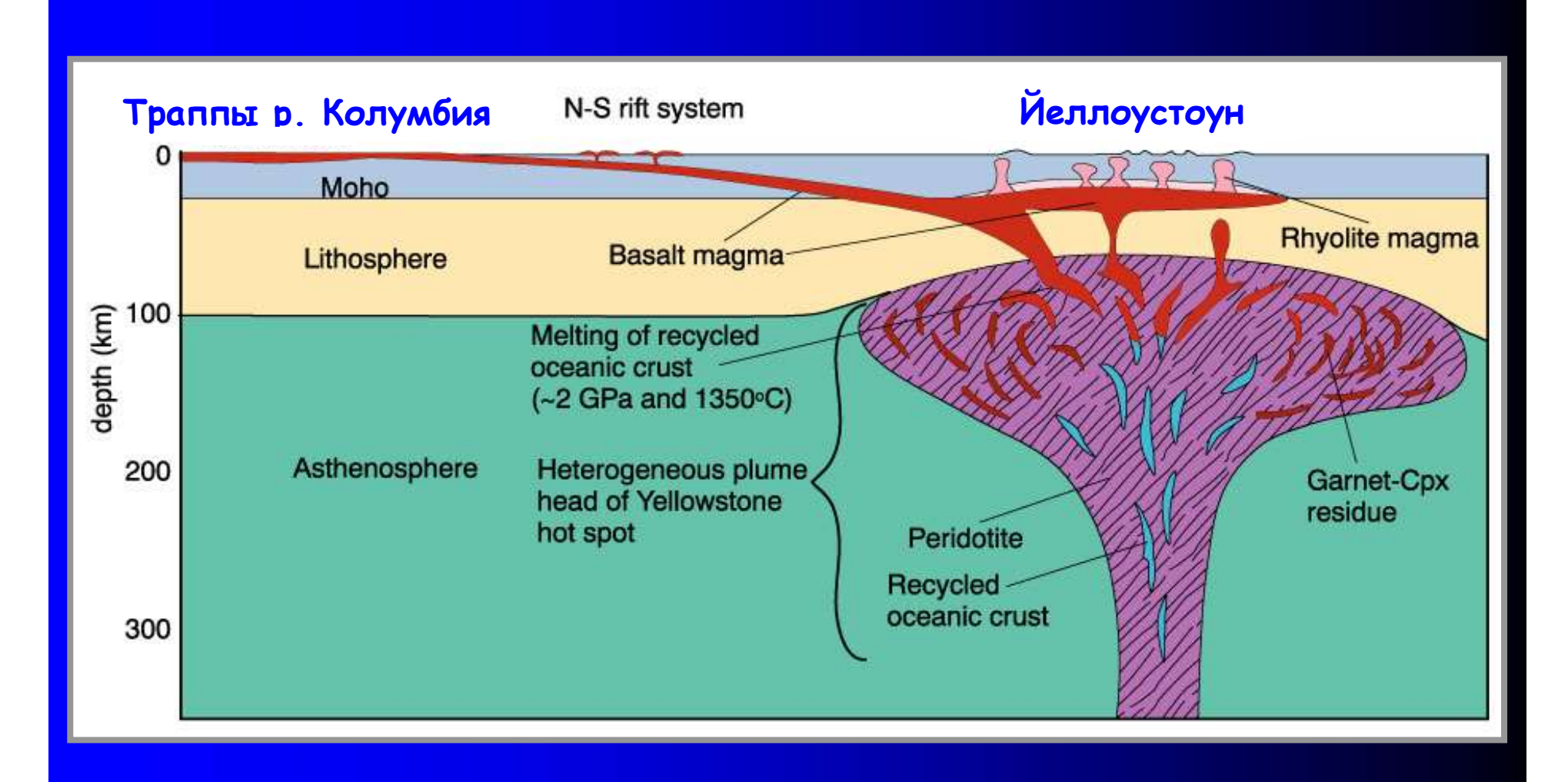
ГЕОТЕКТОНИЧЕСКАЯ ПОЗИЦИЯ ПЛАТО Р. КОЛУМБИЯ (CRB) И ПРИМЫКАЮЩИХ ОБЛАСТЕЙ (SPR-Yellowstone)



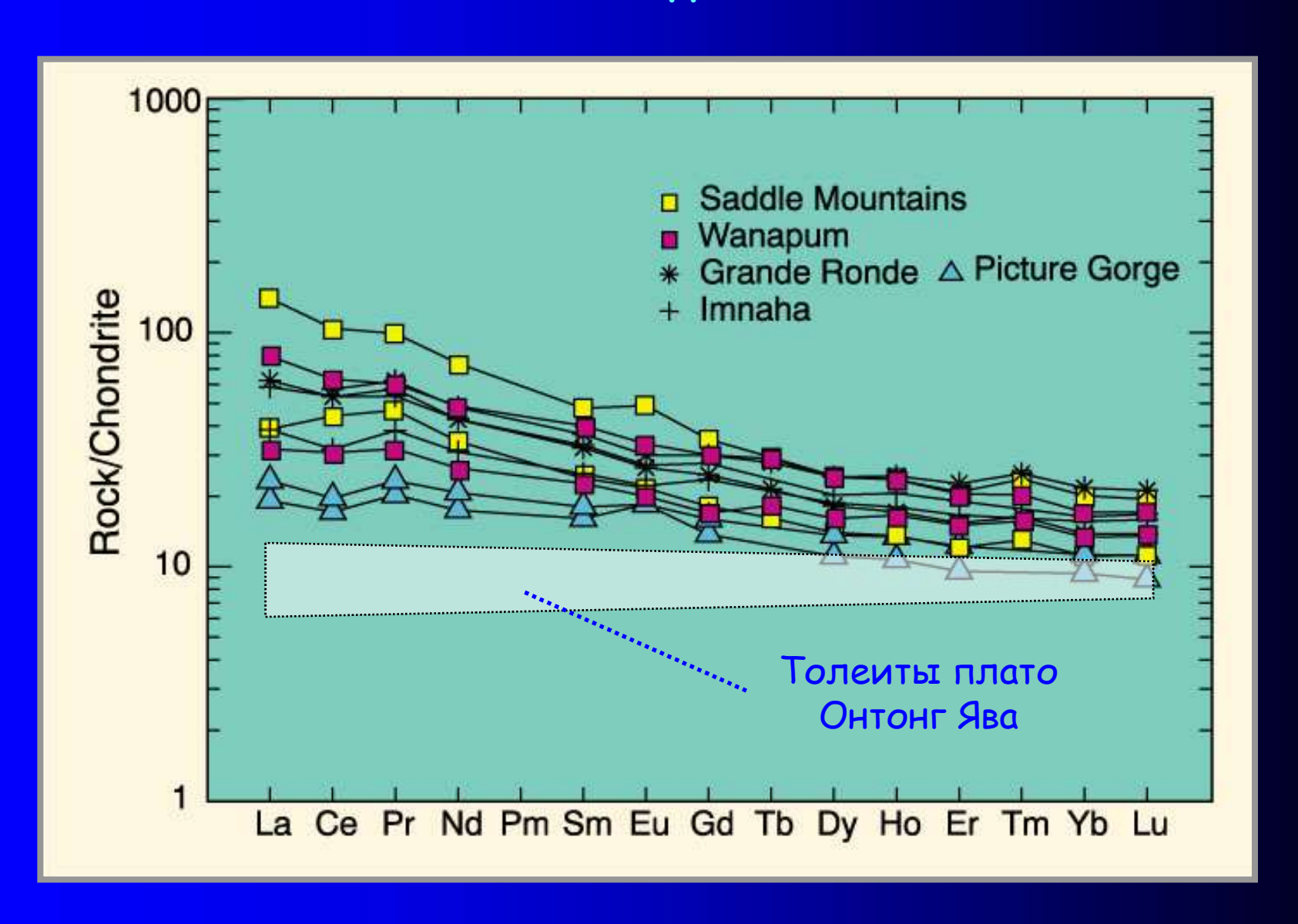
ПОКРОВЫ ЙЕЛЛОУСТОНОВСКОГО ПАРКА В США



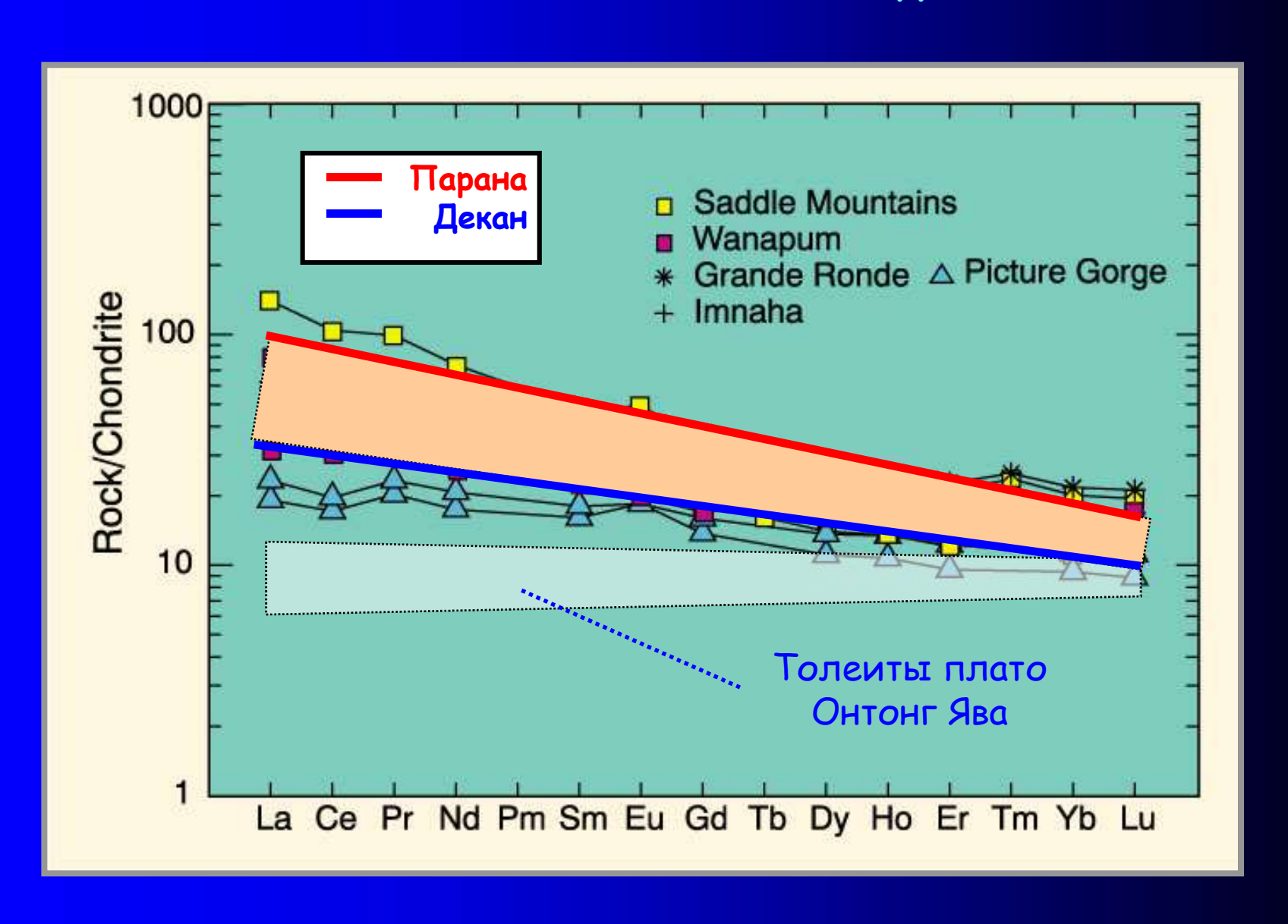
ТЕТРОГЕНЕТИЧЕСКАЯ СХЕМА МИОЦЕНОВОГО МАГМАТИЗМА северо-запада США



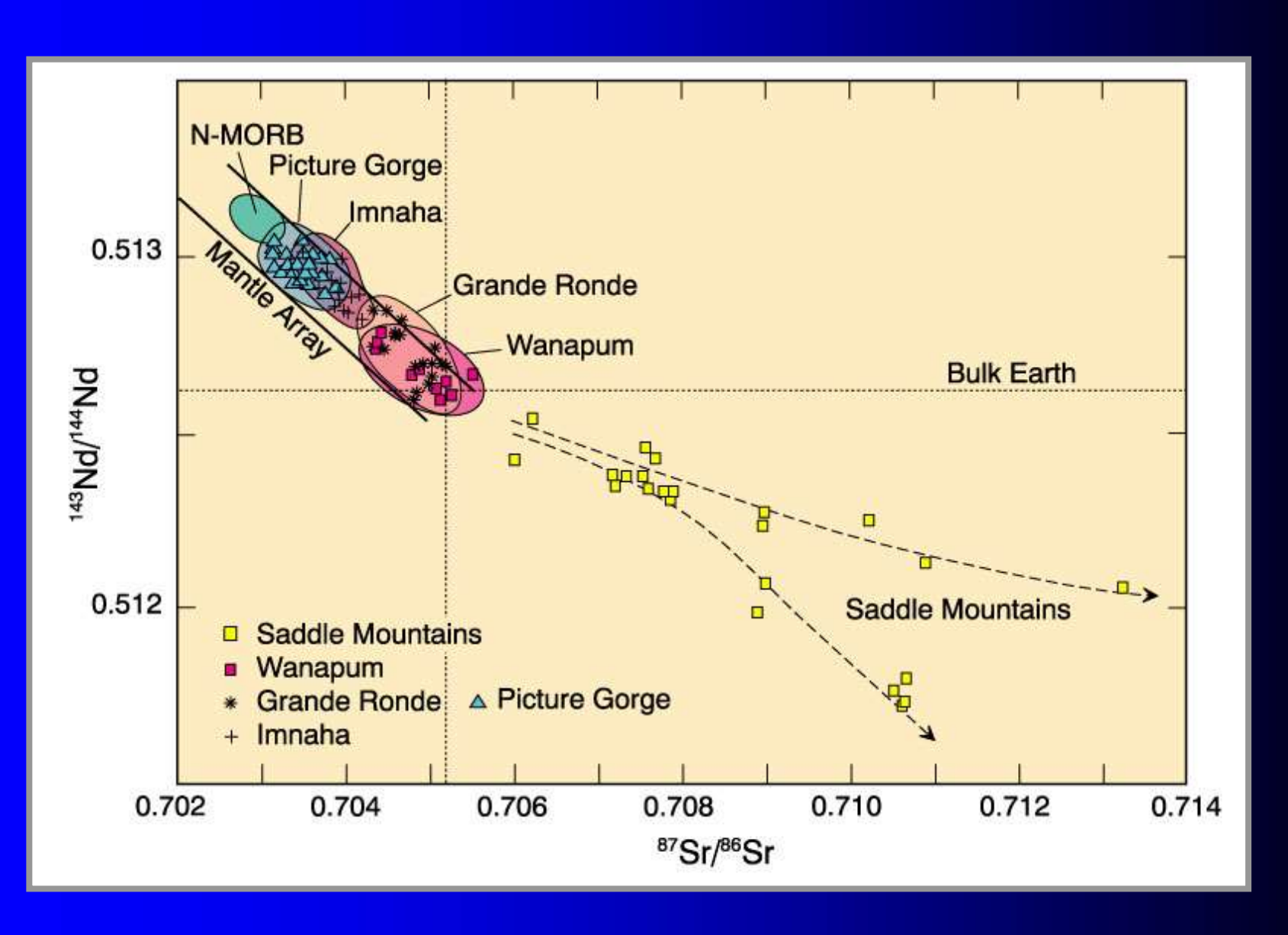
РАСПРЕДЕЛЕНИЕ РЕДКОЗЕМЕЛЬНЫХ ЭЛЕМЕНТОВ В ВУЛКАНИЧЕСКИХ ПОРОД ПЛАТО Р. КОЛУМБИЯ



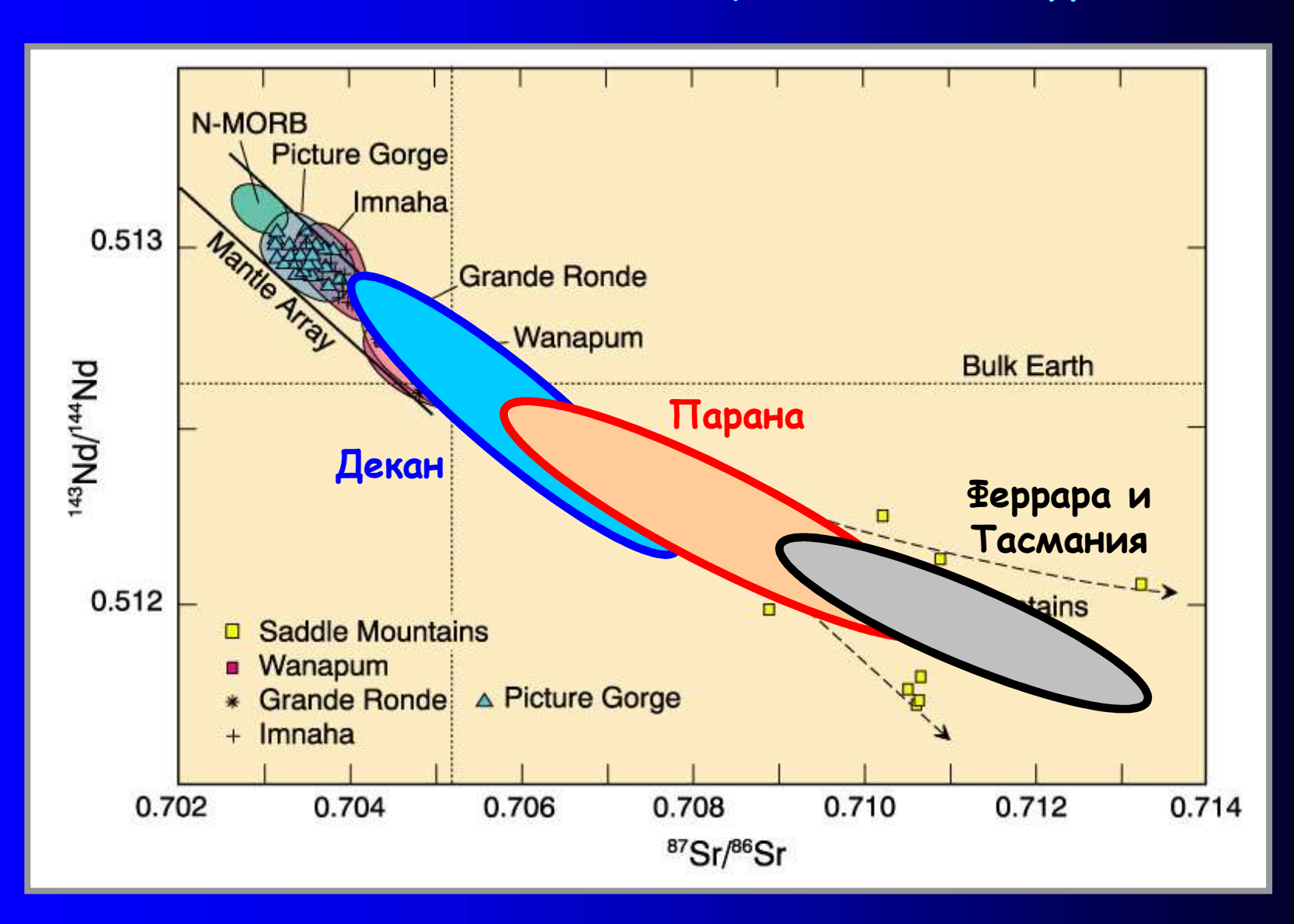
РАСПРЕДЕЛЕНИЕ РЕДКОЗЕМЕЛЬНЫХ ЭЛЕМЕНТОВ В ПЛАТОБАЗАЛЬТАХ ПАРАНЫ И ДЕКАНА



Sr-Nd CUCTEMATUKA ВУЛКАНИЧЕСКИХ ПОРОД ПЛАТО Р. КОЛУМБИЯ



SR-ND СИСТЕМАТИКА ВУЛКАНИЧЕСКИХ ПОРОД ПЛАТОБАЗАЛЬТОВЫХ ПРОВИНЦИЙ ПАРАНЫ И ДЕКАНА



ЛЕЖБИЩА МОРСКИХ ЛЬВОВ НА СКАЛАХ ТАСМАНСКОГО ДОЛЕРИТА





ПРЕДСТАВИТЕЛЬНЫЕ СОСТАВЫ БАЗАЛЬТОВЫХ ТРАППОВ ФЕРРАРА, ТАСМАНИИ И ПАРАНЫ

Оксиды		Диабазы Феррара (Антарктида)		Базальты Параны (Бразилия)	
SiO ₂	50.40	53.75	53.4	54.20	50.82
TiO ₂	0.44	0.70	0.6	1.53	2.79
Al ₂ O ₃	15.51	14.23	15.4	14.74	14.15
FeO	8.72	9.62	9.1	11.70	13.49
MnO	0.17	0.18	0.10	0.17	0.20
MgO	10.60	6.64	6.7	4.54	4.81
CaO	10.87	10.60	11.1	8.77	9.40
Na ₂ O	1.42	1.83	1.7	2.71	2.70
K ₂ O	0.37	0.81	1.0	1.41	1.21
P ₂ O ₅	0.08	0.18	0.1	0.23	0.43
Mg#	0.682	0.552	0.568	0.409	0.389

Mg# = MgO/(MgO+FeO)

ПРЕДСТАВИТЕЛЬНЫЕ СОСТАВЫ ПИКРИТОВ И БАЗАЛЬТОВ ПРОВИНЦИИ КАРРУ (ЮЖНАЯ АФРИКА)

Оксиды	Ву	Вулканические породы Карру				
	Пик	риты	Низко-Ті серия		Онтонг Ява	
SiO ₂	48.96	48.87	50.22	50.17	49.25	
TiO ₂	2.74	0.72	0.97	1.55	1.20	
Al ₂ O ₃	8.98	14.11	15.54	13.54	14.00	
FeO	12.04	10.19	9.83	13.56	11.42	
MnO	0.13	0.16	0.17	0.22	0.21	
MgO	15.48	15.08	7.36	5.28	7.75	
CaO	8.50	8.89	10.21	10.26	12.35	
Na ₂ O	1.62	1.56	2.06	2.63	2.05	
K ₂ O	0.90	0.21	0.22	0.28	0.14	
P ₂ O ₅	0.34	0.09	0.17	0.19	0.06	
Mg#	0.696	0.725	0.572	0.410	0.547	

Mg# = MgO/(MgO+FeO)

ВЕЩЕСТВЕННЫЙ СОСТАВ ЭФФУЗИВНЫХ И ИНТРУЗИВНЫХ ТРАППОВ

Большинство трапповых провинций сложено базальтами и долеритами, представляющими насыщенные (*с нормативным гиперстеном*) или кварцевые толеиты.

Они проявляют высокую степень накопления железа и по формальным признакам относятся к ферробазальтам.

В ряде провинций эти толеитовые ферробазальты ассоциируют с кислыми породами – риолитами и риодацитами.

Субщелочных и щелочных пород встречается крайне мало.

Высокомагнезиальные породы в целом редки. Хотя в настоящее время появляется все больше новых данных о магнезиальных базальтах из отдельных вулканических свит.

В субвулканическом комплексе трапповой формации преобладают мелко-среднезернистые долериты, комагматичные ферробазальтам толеитовой серии.